

DLA PORTU LOTNICZEGO IM. F. CHOPINA W WARSZAWIE

Wzorzec akustyczny (producent; nr typu): Brüel & Kjær; 4228

Równoważny poziom dźwięku w porze dnia i w porze nocy
w odniesieniu do jednej doby, wg wskaźników L_{AeqD} i L_{AeqN}
powodowany przez starty, lądowania i przeloty statków
powietrznych

Dzień miesiąca/ Listopad 2020 r.	Równoważny poziom dźwięku	
	Pora dnia L_{AeqD} w dB	Pora nocy L_{AeqN} w dB
1	44,2	43,0
2	45,8	48,5
3	53,0	47,8
4	54,3	48,3
5	53,8	47,8
6	53,2	47,2
7	51,2	37,7
8	51,3	39,4
9	42,7	34,6
10	40,0	38,6
11	40,4	41,7
12	44,4	37,7
13	45,2	43,4
14	47,1	41,7
15	44,9	34,6
16	43,9	48,9
17	51,1	48,1
18	51,3	41,6
19	52,3	48,4
20	53,3	43,5
21	51,0	39,4
22	52,8	45,2
23	54,2	47,2
24	51,0	47,5
25	51,6	48,7
26	53,6	46,5
27	53,9	45,2
28	50,9	42,8
29	52,3	48,5
30	52,9	38,8

Zgodnie z art. 112a ustawy – Prawo ochrony środowiska oraz rozporządzeniem Ministra Środowiska z dnia 16 czerwca 2011 r. *w sprawie wymagań w zakresie prowadzenia pomiarów poziomów substancji lub energii w środowisku przez zarządzającego drogą, linią kolejową, linią tramwajową, lotniskiem lub portem*, do ustalania i kontroli warunków korzystania ze środowiska mają zastosowanie wskaźniki hałasu odnoszące się do jednej doby:

- L_{AeqD} – równoważny poziom dźwięku A dla pory dnia (rozumianej jako przedział czasu od godz. 6.00 do godz. 22.00),
- L_{AeqN} – równoważny poziom dźwięku A dla pory nocy (rozumianej jako przedział czasu od godz. 22.00 do godz. 6.00).

Wyznaczone wartości tych wskaźników dla poszczególnych dni i nocy w listopadzie 2020 podano w tabeli powyżej.

W tabelach poniżej podano zestawienia zdarzeń akustycznych zarejestrowanych w punkcie pomiarowym, na podstawie których wyznaczono wartości wskaźników L_{AeqD} i L_{AeqN} dla poszczególnych dni i nocy w miesiącu.

Zestawienie zdarzeń akustycznych spowodowanych przelotami statków
powietrznych w porze dnia (przedział czasu pomiędzy godz. 06.00 – 22.00)

Nr punktu pomiarowego	Data i godz. zdarzenia	Samolot	Operacja*	L _{Aeq}	L _{Amax}	L _{AE}
				[dB]	[dB]	[dB]
3	01-11-2020 10:21:22	E170	D	65,5	70,5	81,6
3	01-11-2020 10:42:14	B788	D	67,5	68,7	76,5
3	01-11-2020 10:50:46	E195	D	70,1	72,4	80,1
3	01-11-2020 11:51:57	E195	D	68,3	69,8	78,8
3	01-11-2020 13:09:56	B77W	D	69,3	71,6	83,0
3	01-11-2020 13:23:07	B77W	D	69,7	72,9	82,7
3	01-11-2020 13:49:36	E195	D	70,7	72,6	81,8
3	01-11-2020 15:48:30	E170	D	70,1	71,8	80,9
3	01-11-2020 16:37:35	E195	D	71,5	74,5	83,6
3	01-11-2020 16:51:09	E190	D	67,8	69,7	77,3
3	01-11-2020 17:19:53	B788	D	66,6	68,7	76,6
3	02-11-2020 06:09:59	E190	D	68,6	69,5	77,6
3	02-11-2020 09:24:36	A320	D	67,8	69,1	78,9
3	02-11-2020 10:18:56	E170	D	67,6	68,9	77,6
3	02-11-2020 10:27:53	E75S	D	68,6	69,8	79,1
3	02-11-2020 10:47:40	E75S	D	69,1	71,0	78,6
3	02-11-2020 12:46:08	E75L	D	68,0	69,5	77,1
3	02-11-2020 13:01:25	B77W	D	70,9	74,7	84,9
3	02-11-2020 13:36:14	E75S	D	69,2	72,2	81,5
3	02-11-2020 15:44:17	E75S	D	68,7	70,7	79,8
3	02-11-2020 15:46:07	E75S	D	68,0	69,9	78,0
3	02-11-2020 15:49:06	E170	D	69,4	71,3	80,2
3	02-11-2020 15:54:14	E195	D	70,8	72,7	82,5
3	02-11-2020 16:05:59	E195	D	69,8	73,8	82,1
3	02-11-2020 16:11:17	E195	D	73,0	75,9	84,4
3	02-11-2020 19:18:57	A332	D	69,5	72,0	81,8
3	02-11-2020 21:13:36	A21N	D	65,9	69,2	78,0
3	02-11-2020 21:53:30	B738	D	70,0	72,6	81,8
3	03-11-2020 06:01:50	E170	A	70,2	71,9	81,6
3	03-11-2020 06:04:37	DH8D	A	71,0	73,2	82,5
3	03-11-2020 06:07:24	E75S	A	71,0	73,0	82,4
3	03-11-2020 06:10:10	DH8D	A	69,8	71,5	80,6
3	03-11-2020 06:13:01	E170	A	70,4	72,3	81,8
3	03-11-2020 06:15:54	DH8D	A	69,6	73,0	82,1
3	03-11-2020 06:19:40	DH8D	A	69,3	70,9	80,1
3	03-11-2020 06:22:42	DH8D	A	69,2	70,4	78,2
3	03-11-2020 06:25:34	DH8D	A	73,5	76,0	86,3
3	03-11-2020 06:31:46	B734	A	74,8	78,5	87,6
3	03-11-2020 07:04:06	AT72	A	70,8	73,2	82,3
3	03-11-2020 07:30:33	A320	A	69,5	71,2	80,6
3	03-11-2020 09:23:43	DH8D	A	70,1	71,9	80,9
3	03-11-2020 09:30:52	A321	A	70,2	72,0	81,9
3	03-11-2020 09:38:28	GA5C	A	68,0	69,0	77,5
3	03-11-2020 09:57:28	DH8D	A	71,7	73,6	83,2
3	03-11-2020 10:57:13	A21N	A	70,2	72,4	81,7
3	03-11-2020 11:00:17	E75S	A	71,3	73,6	83,6
3	03-11-2020 11:26:04	E75S	A	70,0	73,4	82,1
3	03-11-2020 11:28:10	A319	A	70,6	72,6	82,3
3	03-11-2020 11:30:19	E195	A	70,3	72,5	82,8
3	03-11-2020 11:35:58	E75L	A	69,9	71,5	81,0
3	03-11-2020 11:41:13	E75S	A	69,9	72,5	81,4
3	03-11-2020 11:45:52	E75S	A	70,0	72,1	81,1
3	03-11-2020 11:50:55	E75S	A	69,3	71,9	80,1

Nr punktu pomiarowego	Data i godz. zdarzenia	Samolot	Operacja*	L _{Aeq}	L _{Amax}	L _{AE}
				[dB]	[dB]	[dB]
3	03-11-2020 11:54:00	E75S	A	70,6	73,3	82,4
3	03-11-2020 12:03:17	E170	A	69,8	71,5	79,8
3	03-11-2020 12:05:19	E195	A	70,0	72,3	81,8
3	03-11-2020 12:07:23	E75S	A	68,4	69,5	78,4
3	03-11-2020 12:17:35	C550	A	70,9	72,3	79,9
3	03-11-2020 12:27:52	E170	A	70,0	71,8	80,5
3	03-11-2020 12:46:07	E170	A	68,6	70,7	80,1
3	03-11-2020 12:48:10	E170	A	69,9	72,8	81,3
3	03-11-2020 12:58:32	B788	A	71,8	74,0	83,9
3	03-11-2020 13:11:39	DH8D	A	70,0	71,3	80,8
3	03-11-2020 13:14:38	DH8D	A	67,4	68,5	78,6
3	03-11-2020 13:21:04	E75S	A	68,8	69,9	77,8
3	03-11-2020 13:29:09	AT75	A	69,4	71,2	79,4
3	03-11-2020 13:55:44	E75L	A	68,8	70,3	79,2
3	03-11-2020 15:06:03	C56X	A	70,7	72,6	79,7
3	03-11-2020 15:51:29	CRJ9	A	69,5	71,0	81,0
3	03-11-2020 15:59:11	A21N	A	70,4	72,1	81,2
3	03-11-2020 16:15:24	A21N	A	70,0	72,9	82,0
3	03-11-2020 16:19:56	E190	A	70,2	73,1	82,3
3	03-11-2020 17:48:21	E75S	A	70,2	71,8	81,0
3	03-11-2020 17:54:26	C295	A	71,5	74,3	82,3
3	03-11-2020 18:16:09	A320	A	69,4	70,9	80,5
3	03-11-2020 18:34:35	E170	A	69,4	71,2	80,5
3	03-11-2020 18:37:01	DH8D	A	68,7	69,7	79,1
3	03-11-2020 18:38:48	E190	A	70,7	73,0	82,2
3	03-11-2020 18:40:17	DH8D	A	69,6	70,5	80,7
3	03-11-2020 18:44:06	E75S	A	69,1	71,1	80,6
3	03-11-2020 18:46:09	E170	A	71,7	73,6	83,5
3	03-11-2020 18:48:07	DH8D	A	67,5	68,2	77,5
3	03-11-2020 18:50:12	DH8D	A	68,7	69,5	77,8
3	03-11-2020 18:52:23	E75S	A	70,2	71,8	81,4
3	03-11-2020 19:01:16	B738	A	71,3	73,5	83,6
3	03-11-2020 19:03:23	E75S	A	70,9	73,0	83,2
3	03-11-2020 19:11:20	E195	A	71,6	74,0	82,7
3	03-11-2020 19:25:00	E75S	A	71,2	73,4	82,7
3	03-11-2020 19:35:42	E75S	A	70,5	73,9	81,2
3	03-11-2020 19:48:35	E170	A	71,2	73,1	83,2
3	03-11-2020 19:59:41	AT75	A	69,5	73,2	84,4
3	03-11-2020 20:04:34	B738	A	73,3	76,0	86,1
3	03-11-2020 20:23:50	B734	A	71,9	75,4	83,7
3	03-11-2020 20:30:10	E170	A	70,8	72,8	82,8
3	03-11-2020 20:51:11	B738	A	72,7	76,1	85,2
3	03-11-2020 21:04:31	E75S	A	71,0	73,2	84,2
3	03-11-2020 21:22:38	E195	A	72,7	76,3	84,4
3	03-11-2020 21:58:29	DH8D	A	70,3	72,0	81,8
3	04-11-2020 06:03:27	DH8D	A	70,0	72,0	81,1
3	04-11-2020 06:06:00	E170	A	69,7	71,9	80,8
3	04-11-2020 06:07:52	DH8D	A	70,8	72,4	82,2
3	04-11-2020 06:09:45	DH8D	A	70,4	72,6	81,8
3	04-11-2020 06:11:58	DH8D	A	69,6	70,9	80,8
3	04-11-2020 06:14:05	B734	A	73,5	77,5	85,8
3	04-11-2020 06:16:15	DH8D	A	69,4	70,9	79,8
3	04-11-2020 06:21:23	DH8D	A	67,3	68,0	77,7
3	04-11-2020 07:09:30	AT72	A	71,8	74,5	83,3
3	04-11-2020 07:57:13	A321	A	71,3	75,1	85,1
3	04-11-2020 08:36:49	E75S	A	70,5	72,8	82,8
3	04-11-2020 08:46:25	C525	A	70,3	72,0	81,4

Nr punktu pomiarowego	Data i godz. zdarzenia	Samolot	Operacja*	L _{Aeq}	L _{Amax}	L _{AE}
				[dB]	[dB]	[dB]
3	04-11-2020 08:52:05	E195	A	71,3	74,5	83,6
3	04-11-2020 09:06:27	A320	A	69,9	71,6	81,6
3	04-11-2020 09:26:12	DH8D	A	68,8	70,2	79,2
3	04-11-2020 09:32:13	E75S	D	72,1	75,8	83,6
3	04-11-2020 09:54:15	DH8D	A	71,5	74,3	84,5
3	04-11-2020 10:29:51	H25B	A	70,6	72,4	81,0
3	04-11-2020 10:31:57	A21N	A	69,2	71,4	81,5
3	04-11-2020 10:39:42	B77W	A	74,9	78,4	88,7
3	04-11-2020 10:42:19	B763	A	73,9	77,9	88,0
3	04-11-2020 11:35:14	E75L	A	70,5	73,0	83,5
3	04-11-2020 11:40:29	E190	A	71,3	74,1	83,6
3	04-11-2020 11:44:07	A320	A	69,9	71,7	82,2
3	04-11-2020 11:50:54	E75S	A	70,4	72,7	83,0
3	04-11-2020 12:02:21	E75S	A	69,7	72,1	82,3
3	04-11-2020 12:27:54	CRJ9	A	69,4	71,2	80,8
3	04-11-2020 12:41:49	P180	A	75,7	80,4	91,5
3	04-11-2020 12:44:23	E170	A	70,0	72,3	82,4
3	04-11-2020 12:49:31	B738	A	72,1	75,2	84,9
3	04-11-2020 13:07:31	DH8D	A	70,4	72,4	82,5
3	04-11-2020 13:11:28	E195	A	72,1	74,0	83,8
3	04-11-2020 13:13:29	E75S	A	70,6	73,0	82,6
3	04-11-2020 13:15:48	DH8D	A	69,4	71,4	80,9
3	04-11-2020 13:18:27	E170	A	70,8	73,0	83,1
3	04-11-2020 13:25:04	DH8D	A	67,8	68,7	77,3
3	04-11-2020 13:27:58	E75S	A	70,4	71,7	82,2
3	04-11-2020 13:30:05	DH8D	A	69,0	70,3	79,8
3	04-11-2020 13:32:40	E75S	A	70,2	72,1	82,0
3	04-11-2020 13:40:49	E195	A	73,3	76,4	85,3
3	04-11-2020 13:55:37	E75S	A	71,2	73,3	83,2
3	04-11-2020 14:05:06	B735	A	72,2	74,1	84,0
3	04-11-2020 14:14:52	E75S	A	69,9	71,3	81,1
3	04-11-2020 14:17:24	B789	A	71,8	74,9	85,6
3	04-11-2020 14:19:59	B738	A	72,0	75,0	84,5
3	04-11-2020 14:24:49	E75S	A	71,4	73,4	83,4
3	04-11-2020 14:26:45	E195	A	71,9	74,0	84,0
3	04-11-2020 14:28:57	E170	A	71,0	73,1	83,3
3	04-11-2020 14:31:03	DH8D	A	68,3	69,2	77,4
3	04-11-2020 14:36:13	B738	A	70,9	73,7	83,5
3	04-11-2020 14:44:16	B789	A	72,5	75,6	86,1
3	04-11-2020 14:52:29	E170	A	71,2	74,0	83,2
3	04-11-2020 15:01:00	DH8D	A	69,6	71,1	80,0
3	04-11-2020 17:07:04	CRJ9	A	70,1	71,8	81,5
3	04-11-2020 17:44:15	A319	A	70,9	73,3	84,0
3	04-11-2020 18:20:30	E190	A	70,9	73,6	83,5
3	04-11-2020 18:39:37	A21N	A	68,2	72,7	85,8
3	04-11-2020 18:50:01	DH8D	A	68,4	69,1	79,2
3	04-11-2020 18:53:21	DH8D	A	69,7	72,1	81,8
3	04-11-2020 19:05:54	AT75	A	69,8	71,6	81,0
3	04-11-2020 19:37:27	AT75	A	68,0	71,3	82,1
3	04-11-2020 19:40:29	TBM9	A	70,7	72,5	83,0
3	04-11-2020 20:21:24	B734	A	73,4	77,3	86,0
3	04-11-2020 20:26:30	E190	A	70,8	75,0	85,2
3	04-11-2020 20:35:06	DH8D	A	68,0	69,0	78,4
3	04-11-2020 20:45:25	E75S	A	71,1	73,5	83,2
3	04-11-2020 20:50:19	E75S	A	69,7	72,3	82,2
3	04-11-2020 20:53:42	E75S	A	69,3	70,7	80,1
3	04-11-2020 20:55:47	E170	A	70,7	73,0	82,5

Nr punktu pomiarowego	Data i godz. zdarzenia	Samolot	Operacja*	L _{Aeq}	L _{Amax}	L _{AE}
				[dB]	[dB]	[dB]
3	04-11-2020 21:02:59	E195	A	69,5	74,2	85,1
3	04-11-2020 21:05:14	E75S	A	69,1	71,1	80,9
3	04-11-2020 21:07:13	E190	A	70,7	73,1	81,8
3	04-11-2020 21:09:00	E75S	A	69,8	71,8	80,9
3	04-11-2020 21:10:51	E75S	A	69,4	71,4	80,6
3	04-11-2020 21:12:38	E170	A	69,5	71,8	82,3
3	04-11-2020 21:20:00	A320	A	68,9	71,3	82,7
3	04-11-2020 21:23:02	E170	A	69,7	71,0	80,5
3	04-11-2020 21:25:11	E75S	A	70,1	72,2	81,9
3	04-11-2020 21:27:57	E75S	A	70,3	72,1	81,8
3	04-11-2020 21:40:44	E170	A	71,6	73,9	84,2
3	05-11-2020 06:03:31	E190	A	72,2	74,8	84,7
3	05-11-2020 06:05:53	E170	A	70,4	73,0	81,1
3	05-11-2020 06:10:11	DH8D	A	67,6	68,5	76,6
3	05-11-2020 06:12:07	DH8D	A	69,8	71,8	81,6
3	05-11-2020 06:14:10	DH8D	A	68,8	70,8	80,8
3	05-11-2020 06:17:03	E170	A	70,7	73,0	82,7
3	05-11-2020 06:41:57	B734	A	73,4	77,3	86,0
3	05-11-2020 07:33:49	AT72	A	72,8	75,3	85,6
3	05-11-2020 07:39:52	B734	A	72,7	77,4	86,0
3	05-11-2020 07:49:27	A320	A	71,1	72,8	82,6
3	05-11-2020 08:00:33	C295	A	71,0	73,3	82,2
3	05-11-2020 09:24:29	DH8D	A	68,9	70,3	78,9
3	05-11-2020 09:58:30	DH8D	A	68,7	70,8	77,7
3	05-11-2020 10:14:30	A21N	A	70,0	72,3	82,3
3	05-11-2020 11:08:48	E75S	A	70,2	72,9	81,3
3	05-11-2020 11:38:49	E75S	A	69,3	72,7	81,6
3	05-11-2020 11:46:08	E75S	A	69,9	72,5	81,7
3	05-11-2020 11:49:27	E190	A	71,2	72,4	82,7
3	05-11-2020 11:53:30	E170	A	69,7	71,8	80,9
3	05-11-2020 11:55:28	E195	A	71,4	73,7	83,4
3	05-11-2020 12:01:05	E75S	A	70,0	72,5	81,8
3	05-11-2020 12:07:51	E170	A	69,3	72,4	82,3
3	05-11-2020 12:10:45	B789	A	71,8	75,0	85,8
3	05-11-2020 12:14:57	E75S	A	70,5	73,4	83,5
3	05-11-2020 12:17:06	E170	A	71,8	74,7	83,6
3	05-11-2020 12:27:40	E75S	A	68,9	72,4	81,7
3	05-11-2020 12:40:20	E75S	A	71,2	73,9	83,8
3	05-11-2020 12:46:04	B788	A	72,5	74,5	85,3
3	05-11-2020 12:58:58	E170	A	71,3	73,2	82,4
3	05-11-2020 13:08:34	E170	A	70,8	73,7	83,3
3	05-11-2020 13:20:14	DH8D	A	68,5	70,2	77,6
3	05-11-2020 13:23:19	B789	A	72,4	75,9	86,8
3	05-11-2020 13:25:49	DH8D	A	69,6	72,1	81,1
3	05-11-2020 13:28:00	DH8D	A	69,5	71,4	81,8
3	05-11-2020 13:47:56	E75S	A	70,0	72,1	81,7
3	05-11-2020 13:57:31	B738	A	71,0	75,9	83,5
3	05-11-2020 14:19:50	AT75	A	69,6	70,9	80,4
3	05-11-2020 14:28:29	E75S	A	70,7	73,6	82,5
3	05-11-2020 14:32:29	B788	A	72,1	74,9	85,3
3	05-11-2020 15:19:29	B77W	A	73,1	77,0	87,1
3	05-11-2020 15:59:56	CRJ9	A	68,4	70,1	79,2
3	05-11-2020 16:11:06	B738	A	72,8	76,3	85,6
3	05-11-2020 16:19:31	E170	A	69,7	72,0	81,1
3	05-11-2020 16:41:35	A21N	A	70,0	71,8	81,4
3	05-11-2020 17:01:24	A20N	A	72,8	74,9	85,1
3	05-11-2020 17:04:15	A320	A	69,3	70,7	80,7

Nr punktu pomiarowego	Data i godz. zdarzenia	Samolot	Operacja*	L _{Aeq}	L _{Amax}	L _{AE}
				[dB]	[dB]	[dB]
3	05-11-2020 17:56:44	E195	A	71,3	74,5	83,1
3	05-11-2020 18:29:52	E170	A	70,2	72,4	81,6
3	05-11-2020 18:33:45	E75S	A	70,7	72,8	82,1
3	05-11-2020 18:39:41	E170	A	71,4	73,6	83,7
3	05-11-2020 18:41:46	DH8D	A	67,7	68,8	78,5
3	05-11-2020 18:46:26	E170	A	70,4	73,5	82,2
3	05-11-2020 18:48:23	E75S	A	68,8	72,4	82,8
3	05-11-2020 18:55:53	DH8D	A	68,4	70,5	78,4
3	05-11-2020 18:57:53	E75S	A	70,2	73,7	82,8
3	05-11-2020 19:00:01	E75S	A	70,1	72,3	81,3
3	05-11-2020 19:01:50	DH8D	A	68,8	70,7	80,3
3	05-11-2020 19:03:49	DH8D	A	69,2	70,3	80,0
3	05-11-2020 19:06:27	E195	A	71,6	75,1	84,2
3	05-11-2020 19:27:41	E75S	A	69,7	72,4	82,0
3	05-11-2020 19:39:27	E75S	A	69,6	71,3	81,3
3	05-11-2020 20:13:58	B734	A	74,5	79,2	88,6
3	05-11-2020 20:20:48	E170	A	70,1	73,4	82,9
3	05-11-2020 20:34:23	E170	A	69,7	72,1	82,3
3	05-11-2020 20:43:35	B738	A	73,0	76,6	86,0
3	05-11-2020 20:49:01	AT75	A	69,2	71,3	80,3
3	05-11-2020 21:18:43	E75S	A	70,0	73,4	83,6
3	05-11-2020 21:46:56	P180	A	73,6	78,3	89,3
3	05-11-2020 21:59:23	DH8D	A	70,7	72,3	82,2
3	06-11-2020 06:40:53	B738	A	72,2	75,0	84,2
3	06-11-2020 07:23:55	AT72	A	69,9	72,8	80,3
3	06-11-2020 08:28:57	E75S	A	70,5	73,4	81,3
3	06-11-2020 08:44:52	E170	A	69,6	72,1	80,4
3	06-11-2020 09:14:48	GLF5	A	70,8	78,4	83,6
3	06-11-2020 10:02:57	DH8D	A	68,8	70,2	79,2
3	06-11-2020 10:57:07	B77W	A	74,0	79,6	88,7
3	06-11-2020 11:15:07	A21N	A	69,3	72,1	80,7
3	06-11-2020 11:44:24	BCS1	A	68,7	70,5	78,3
3	06-11-2020 11:59:32	E75L	A	69,6	71,2	80,4
3	06-11-2020 12:04:24	E170	A	69,8	72,2	80,9
3	06-11-2020 12:37:22	A319	A	70,2	73,0	82,3
3	06-11-2020 13:14:14	E195	A	72,7	75,6	84,2
3	06-11-2020 13:22:58	DH8D	A	69,5	70,7	79,5
3	06-11-2020 13:25:37	E170	A	69,6	72,2	82,6
3	06-11-2020 13:28:00	E195	A	71,5	74,0	83,8
3	06-11-2020 13:35:47	E190	A	72,4	75,2	83,6
3	06-11-2020 13:45:22	E75S	A	69,0	70,7	81,0
3	06-11-2020 14:01:54	E75S	A	71,1	73,5	81,9
3	06-11-2020 14:06:58	E195	A	71,3	73,9	83,1
3	06-11-2020 14:12:49	E195	A	71,2	75,7	83,2
3	06-11-2020 14:15:24	DH8D	A	68,5	69,8	79,6
3	06-11-2020 14:17:44	E170	A	70,4	72,9	81,6
3	06-11-2020 14:23:11	A319	A	72,0	74,3	84,1
3	06-11-2020 14:31:26	E75S	A	71,1	73,2	83,1
3	06-11-2020 14:33:21	E170	A	70,6	72,7	80,6
3	06-11-2020 14:35:25	E75S	A	69,5	72,2	80,3
3	06-11-2020 15:02:01	E75S	A	69,8	72,8	80,9
3	06-11-2020 15:20:11	A319	A	71,3	74,1	83,0
3	06-11-2020 16:01:23	B738	A	73,1	75,7	84,9
3	06-11-2020 16:40:17	A332	A	73,1	76,7	87,1
3	06-11-2020 17:19:58	CRJ9	A	69,0	70,2	78,0
3	06-11-2020 17:47:09	A333	A	73,8	76,9	87,4
3	06-11-2020 17:51:29	B789	A	71,6	74,2	84,8

Nr punktu pomiarowego	Data i godz. zdarzenia	Samolot	Operacja*	L _{Aeq}	L _{Amax}	L _{AE}
				[dB]	[dB]	[dB]
3	06-11-2020 17:53:45	E75S	A	69,0	71,2	80,2
3	06-11-2020 18:44:49	AT75	A	68,7	70,4	78,7
3	06-11-2020 18:51:19	DH8D	A	69,2	70,6	80,6
3	06-11-2020 18:53:19	E75S	A	70,4	73,0	82,4
3	06-11-2020 18:55:42	DH8D	A	69,2	71,3	79,6
3	06-11-2020 18:57:11	DH8D	A	71,5	74,0	82,9
3	06-11-2020 19:10:41	DH8D	A	68,3	69,8	78,3
3	06-11-2020 19:59:48	E190	A	70,7	73,2	81,5
3	06-11-2020 20:04:05	DH8D	A	70,4	71,5	82,5
3	06-11-2020 20:08:31	B738	A	70,9	73,3	82,6
3	06-11-2020 20:34:00	E170	A	69,1	70,6	78,6
3	06-11-2020 20:55:04	E75S	A	70,1	71,5	80,9
3	06-11-2020 20:59:43	E190	A	70,7	73,4	82,2
3	06-11-2020 21:08:34	E75S	A	69,3	71,3	79,7
3	06-11-2020 21:10:45	E190	A	70,2	73,3	83,0
3	06-11-2020 21:16:52	E75S	A	70,2	72,5	81,0
3	06-11-2020 21:19:28	E75S	A	69,4	71,6	80,9
3	06-11-2020 21:21:16	B738	A	71,8	74,0	84,6
3	06-11-2020 21:23:29	E75S	A	70,3	72,0	80,7
3	06-11-2020 21:26:32	E75S	A	69,8	71,6	80,6
3	06-11-2020 21:36:37	E75S	A	70,5	72,5	81,7
3	06-11-2020 21:38:43	E75S	A	70,7	73,1	81,5
3	06-11-2020 21:40:43	E170	A	70,7	72,2	82,2
3	06-11-2020 21:42:33	E170	A	70,8	73,2	82,0
3	06-11-2020 21:48:57	E195	A	71,1	73,1	82,8
3	06-11-2020 21:59:13	DH8D	A	69,7	71,5	79,7
3	07-11-2020 06:02:58	E170	A	69,1	70,9	79,1
3	07-11-2020 06:06:09	DH8D	A	69,9	71,6	80,3
3	07-11-2020 06:07:53	B738	A	73,3	75,9	85,4
3	07-11-2020 06:09:30	DH8D	A	68,9	70,1	78,9
3	07-11-2020 06:10:56	DH8D	A	69,0	70,3	79,4
3	07-11-2020 06:12:35	E170	A	69,9	71,8	80,7
3	07-11-2020 06:14:26	DH8D	A	70,7	72,5	81,5
3	07-11-2020 07:36:25	A320	A	70,0	71,4	80,0
3	07-11-2020 08:42:41	AT75	A	70,9	72,9	82,1
3	07-11-2020 09:36:04	B738	D	69,5	71,0	80,3
3	07-11-2020 11:03:32	E190	A	70,6	73,3	81,1
3	07-11-2020 11:13:06	A21N	A	68,9	70,6	78,4
3	07-11-2020 11:44:18	E195	A	70,2	73,1	81,7
3	07-11-2020 11:48:37	E75S	A	69,1	70,9	79,5
3	07-11-2020 11:50:32	B737	A	71,5	73,7	82,6
3	07-11-2020 11:54:54	E75S	A	69,5	70,9	78,5
3	07-11-2020 11:57:14	E75S	A	69,3	70,8	78,8
3	07-11-2020 12:03:00	E75S	A	69,0	70,8	78,5
3	07-11-2020 12:11:37	E170	A	70,7	72,0	80,2
3	07-11-2020 12:17:22	E170	A	69,7	71,1	78,7
3	07-11-2020 12:21:33	E170	A	70,5	72,5	80,9
3	07-11-2020 12:23:23	E75S	A	69,0	70,6	78,5
3	07-11-2020 12:26:18	B789	A	71,8	74,1	83,6
3	07-11-2020 12:29:05	A319	A	71,0	72,7	81,8
3	07-11-2020 12:47:06	B788	A	71,6	74,5	83,0
3	07-11-2020 12:49:37	E170	A	71,0	74,1	83,6
3	07-11-2020 13:05:01	DH8D	A	69,2	70,4	80,0
3	07-11-2020 13:20:38	B788	A	72,7	75,3	84,7
3	07-11-2020 13:26:15	E75S	A	68,4	69,9	79,2
3	07-11-2020 13:29:18	DH8D	A	69,2	70,2	79,6
3	07-11-2020 13:31:31	E195	A	70,6	72,2	81,0

Nr punktu pomiarowego	Data i godz. zdarzenia	Samolot	Operacja*	L _{Aeq}	L _{Amax}	L _{AE}
				[dB]	[dB]	[dB]
3	07-11-2020 13:34:16	B738	A	72,6	75,0	84,3
3	07-11-2020 13:41:34	B738	A	72,0	74,2	83,5
3	07-11-2020 13:53:33	B788	A	72,0	74,3	84,0
3	07-11-2020 13:55:31	E75L	A	69,5	73,4	83,5
3	07-11-2020 14:04:30	DH8D	A	68,8	70,3	79,6
3	07-11-2020 14:11:47	E75S	A	69,5	71,0	79,9
3	07-11-2020 14:13:44	DH8D	A	69,4	71,0	80,5
3	07-11-2020 14:29:07	DH8D	A	68,7	69,9	77,8
3	07-11-2020 16:11:51	E190	A	69,1	70,4	78,7
3	08-11-2020 08:39:02	DH8D	A	70,2	72,8	80,6
3	08-11-2020 09:08:34	A21N	A	68,7	69,7	78,7
3	08-11-2020 10:26:10	A321	A	69,1	70,8	80,3
3	08-11-2020 10:40:23	B77W	A	73,3	77,5	88,3
3	08-11-2020 11:44:35	B789	A	70,2	72,9	82,7
3	08-11-2020 13:06:50	DH8D	A	68,4	70,1	79,9
3	08-11-2020 13:11:13	E170	A	69,9	72,3	81,3
3	08-11-2020 13:17:48	A21N	A	71,2	73,2	82,7
3	08-11-2020 13:19:55	DH8D	A	69,6	71,2	79,6
3	08-11-2020 13:21:49	DH8D	A	68,8	69,6	79,9
3	08-11-2020 13:23:47	DH8D	A	68,9	70,7	80,0
3	08-11-2020 13:25:56	DH8D	A	68,7	71,3	80,5
3	08-11-2020 13:28:33	E75S	A	70,4	72,5	81,5
3	08-11-2020 13:31:33	E195	A	72,3	74,5	84,1
3	08-11-2020 13:49:33	B735	A	72,3	74,8	84,3
3	08-11-2020 13:54:32	E75S	A	70,9	72,8	82,3
3	08-11-2020 13:59:36	E75S	A	70,9	73,3	83,2
3	08-11-2020 14:01:52	E195	A	72,1	75,1	83,9
3	08-11-2020 14:04:02	DH8D	A	68,2	69,3	77,8
3	08-11-2020 14:12:57	E170	A	70,2	71,9	81,4
3	08-11-2020 14:20:41	E170	A	70,0	72,3	82,0
3	08-11-2020 14:25:22	DH8D	A	68,5	69,9	78,9
3	08-11-2020 14:28:10	B788	A	72,0	76,4	85,8
3	08-11-2020 14:55:39	E75S	A	70,1	72,2	81,8
3	08-11-2020 14:57:23	B789	A	72,1	75,7	86,2
3	08-11-2020 15:04:55	E170	A	71,1	72,9	82,5
3	08-11-2020 15:09:30	A319	A	70,5	72,5	82,3
3	08-11-2020 15:43:17	C56X	A	69,6	71,2	78,6
3	08-11-2020 15:50:54	E190	A	69,3	71,7	80,8
3	08-11-2020 16:40:32	C295	A	70,0	71,4	79,1
3	08-11-2020 17:03:09	ATP	A	71,4	72,7	82,6
3	08-11-2020 17:44:02	A320	A	69,0	70,5	79,8
3	08-11-2020 17:51:04	BCS1	A	64,8	70,2	77,6
3	08-11-2020 18:26:06	DH8D	A	68,5	70,1	79,3
3	08-11-2020 18:43:25	E195	A	70,7	73,2	83,1
3	08-11-2020 18:45:51	DH8D	A	70,9	73,0	80,9
3	08-11-2020 18:51:04	E75S	A	68,7	72,8	82,3
3	08-11-2020 18:53:07	DH8D	A	70,3	73,6	82,1
3	08-11-2020 19:03:23	DH8D	A	69,3	71,2	79,3
3	08-11-2020 19:19:15	E190	A	69,8	71,5	80,9
3	08-11-2020 19:33:01	E75S	A	70,4	72,0	80,8
3	08-11-2020 19:55:50	C680	A	68,2	70,3	79,0
3	08-11-2020 19:58:57	E75S	A	69,4	71,4	80,2
3	08-11-2020 20:25:30	E170	A	68,6	69,9	79,0
3	09-11-2020 10:21:34	E170	D	68,8	72,8	81,3
3	09-11-2020 10:26:54	E75S	D	67,9	70,4	78,7
3	09-11-2020 10:42:14	E195	D	69,0	71,5	79,4
3	09-11-2020 13:29:29	E75S	D	70,2	74,1	81,9

Nr punktu pomiarowego	Data i godz. zdarzenia	Samolot	Operacja*	L _{Aeq}	L _{Amax}	L _{AE}
				[dB]	[dB]	[dB]
3	09-11-2020 14:59:11	AN28	D	63,9	68,6	75,3
3	09-11-2020 15:50:56	E75S	D	68,7	71,1	80,7
3	09-11-2020 15:52:43	E170	D	66,9	68,2	76,5
3	09-11-2020 15:54:20	E190	D	69,8	73,6	81,9
3	09-11-2020 15:58:30	E75S	D	69,0	71,5	81,0
3	09-11-2020 16:03:33	E195	D	68,9	71,5	78,9
3	10-11-2020 13:40:15	E195	D	69,2	71,8	80,9
3	10-11-2020 14:07:00	B789	D	68,1	69,8	77,7
3	10-11-2020 15:42:23	E75S	D	69,3	71,7	81,6
3	10-11-2020 15:50:24	E170	D	67,4	69,2	79,1
3	10-11-2020 15:59:53	E75S	D	68,6	72,1	81,1
3	11-11-2020 06:01:32	E170	A	68,9	70,8	78,5
3	11-11-2020 06:14:29	E190	D	68,7	70,1	78,2
3	11-11-2020 10:43:46	E195	D	70,1	72,9	80,9
3	11-11-2020 13:10:33	B77W	D	73,0	76,0	86,0
3	12-11-2020 07:10:57	B738	D	70,6	73,3	83,4
3	12-11-2020 08:52:42	B789	D	68,6	69,9	78,6
3	12-11-2020 10:37:56	B737	D	67,9	69,5	78,3
3	12-11-2020 12:47:16	E190	D	68,0	69,2	77,0
3	12-11-2020 13:57:37	E195	D	70,3	73,0	83,5
3	12-11-2020 15:45:26	E75S	D	67,7	68,8	77,2
3	12-11-2020 15:48:27	E75S	D	68,9	71,8	81,7
3	12-11-2020 16:03:11	E75S	D	69,3	71,7	80,1
3	12-11-2020 16:08:28	E195	D	69,9	73,4	85,6
3	12-11-2020 16:09:52	E75S	D	67,3	73,4	79,3
3	12-11-2020 17:03:03	B77W	D	70,5	73,0	84,1
3	12-11-2020 19:15:13	B789	D	68,4	69,7	79,2
3	13-11-2020 10:20:51	E75S	D	69,1	70,2	78,2
3	13-11-2020 10:24:41	E75S	D	69,1	70,1	79,8
3	13-11-2020 10:37:21	E170	D	68,8	69,6	78,4
3	13-11-2020 10:44:40	E195	D	69,3	71,2	80,5
3	13-11-2020 12:15:59	B789	D	66,9	71,2	79,0
3	13-11-2020 13:30:13	B77W	D	68,3	69,8	80,9
3	13-11-2020 13:32:59	E195	D	69,2	70,5	78,3
3	13-11-2020 15:10:14	B788	D	69,3	72,1	79,7
3	13-11-2020 16:32:38	B789	D	66,9	68,5	76,9
3	13-11-2020 17:01:20	B788	D	68,1	69,4	78,1
3	13-11-2020 17:25:16	B789	D	67,7	68,6	77,2
3	13-11-2020 18:57:28	A332	D	69,3	72,5	83,3
3	13-11-2020 19:56:09	A333	D	72,0	74,7	85,8
3	14-11-2020 06:48:47	B738	A	72,4	75,5	84,7
3	14-11-2020 07:14:08	B738	D	70,7	73,6	83,0
3	14-11-2020 07:29:07	B738	D	71,1	73,7	83,1
3	14-11-2020 08:43:28	A320	D	69,6	70,6	80,4
3	14-11-2020 10:48:14	E170	D	69,1	71,3	81,4
3	14-11-2020 12:53:03	E75L	D	68,7	70,9	78,7
3	14-11-2020 14:10:47	E170	A	70,5	72,1	81,7
3	14-11-2020 15:38:18	E75S	D	69,0	70,3	79,4
3	14-11-2020 15:45:50	E75S	D	69,3	70,6	80,5
3	14-11-2020 15:50:54	E170	D	71,2	73,0	82,0
3	14-11-2020 15:53:47	E75S	D	69,7	71,7	82,2
3	14-11-2020 15:56:11	E75S	D	72,9	75,3	84,7
3	14-11-2020 16:04:44	E75S	D	68,8	69,4	78,3
3	14-11-2020 18:05:49	E75S	A	70,8	72,6	82,2
3	14-11-2020 19:07:01	B738	A	72,7	77,3	85,9
3	14-11-2020 19:09:07	E75S	A	71,2	73,2	82,6
3	14-11-2020 19:25:00	E75S	A	69,7	72,1	80,8

Nr punktu pomiarowego	Data i godz. zdarzenia	Samolot	Operacja*	L _{Aeq}	L _{Amax}	L _{AE}
				[dB]	[dB]	[dB]
3	14-11-2020 19:43:40	E75S	A	69,1	70,5	79,5
3	14-11-2020 20:01:34	E170	A	70,2	71,8	82,0
3	15-11-2020 06:08:52	E190	D	68,3	70,0	77,8
3	15-11-2020 08:30:33	B738	D	70,3	73,1	83,5
3	15-11-2020 09:22:48	E75S	D	68,7	71,3	81,7
3	15-11-2020 09:25:03	B738	D	71,7	74,8	84,3
3	15-11-2020 10:29:15	E170	D	67,7	69,2	78,1
3	15-11-2020 10:46:21	B788	D	68,3	68,9	78,7
3	15-11-2020 10:49:19	E195	D	69,4	71,1	80,9
3	15-11-2020 11:38:18	E75S	D	69,4	71,2	81,1
3	15-11-2020 12:03:18	E190	D	68,5	70,1	78,5
3	15-11-2020 13:14:19	B77W	D	71,5	74,3	85,8
3	15-11-2020 13:27:51	E195	D	70,2	73,1	81,3
3	15-11-2020 13:33:32	B789	D	68,1	69,1	78,9
3	15-11-2020 15:56:18	E170	D	69,8	72,0	80,6
3	15-11-2020 17:05:34	B788	D	68,3	69,0	77,9
3	16-11-2020 10:48:53	E195	D	70,6	73,2	81,8
3	16-11-2020 13:26:18	E195	D	69,6	72,7	81,7
3	16-11-2020 15:01:05	E75S	D	66,5	68,2	76,1
3	16-11-2020 15:42:37	E75S	D	70,0	72,2	82,0
3	16-11-2020 15:45:20	E75S	D	67,8	69,2	78,2
3	16-11-2020 15:48:16	E75S	D	69,6	72,2	80,4
3	16-11-2020 15:58:58	E75S	D	69,9	71,9	81,0
3	16-11-2020 16:06:26	E195	D	71,0	73,8	82,5
3	16-11-2020 16:14:19	E75S	D	69,6	71,3	80,7
3	16-11-2020 17:52:30	P180	D	67,2	68,8	78,3
3	16-11-2020 19:05:24	B789	D	70,4	72,0	80,8
3	17-11-2020 06:02:34	DH8D	A	69,2	70,8	80,0
3	17-11-2020 06:06:01	E170	A	70,4	72,8	81,9
3	17-11-2020 06:16:09	DH8D	A	69,4	71,9	80,5
3	17-11-2020 06:18:36	DH8D	A	68,7	70,3	77,7
3	17-11-2020 06:42:28	B734	A	71,9	74,5	83,4
3	17-11-2020 07:22:57	AT72	A	69,8	71,5	79,8
3	17-11-2020 07:43:20	A320	A	71,7	74,7	86,3
3	17-11-2020 09:24:51	DH8D	A	69,7	72,3	80,5
3	17-11-2020 09:53:08	DH8D	A	74,0	77,7	86,1
3	17-11-2020 10:37:01	H60	A	73,6	76,2	87,4
3	17-11-2020 11:30:24	B789	A	73,5	76,8	87,1
3	17-11-2020 11:38:52	E75L	A	70,0	72,3	82,0
3	17-11-2020 11:47:30	E170	A	69,5	71,1	79,9
3	17-11-2020 11:59:33	E170	A	71,3	73,8	83,3
3	17-11-2020 12:12:45	E195	A	71,0	73,0	82,8
3	17-11-2020 12:29:35	E75S	A	69,4	72,0	80,5
3	17-11-2020 12:47:15	B788	A	73,0	76,4	86,2
3	17-11-2020 13:02:17	DH8D	A	69,3	70,7	79,7
3	17-11-2020 13:19:20	DH8D	A	69,4	71,9	81,8
3	17-11-2020 13:25:08	P180	A	75,1	79,2	89,5
3	17-11-2020 13:48:38	AT75	A	69,8	70,9	79,8
3	17-11-2020 14:02:13	E75S	A	71,3	73,1	81,3
3	17-11-2020 16:35:47	A21N	A	69,6	71,4	81,0
3	17-11-2020 18:07:59	DH8D	A	71,1	74,0	82,2
3	17-11-2020 18:58:39	DH8D	A	69,6	71,5	80,0
3	17-11-2020 19:00:48	E195	A	71,2	72,9	83,2
3	17-11-2020 19:20:25	E195	A	71,8	73,9	83,3
3	17-11-2020 20:10:05	B734	A	72,6	76,2	84,6
3	17-11-2020 20:41:37	DH8D	A	69,4	71,3	79,8
3	17-11-2020 20:58:33	B738	A	72,7	75,5	85,5

Nr punktu pomiarowego	Data i godz. zdarzenia	Samolot	Operacja*	L _{Aeq}	L _{Amax}	L _{AE}
				[dB]	[dB]	[dB]
3	17-11-2020 21:15:42	E75S	A	70,8	72,7	81,9
3	17-11-2020 21:27:08	AT75	A	69,8	72,0	79,8
3	17-11-2020 21:55:56	B789	A	72,5	75,3	85,5
3	18-11-2020 06:04:48	E170	A	69,2	71,2	80,7
3	18-11-2020 06:32:53	B734	A	73,2	76,4	84,9
3	18-11-2020 06:38:13	B789	A	73,0	75,7	85,8
3	18-11-2020 07:22:51	AT72	A	73,3	76,2	85,4
3	18-11-2020 08:32:10	E75S	A	69,6	71,6	80,4
3	18-11-2020 10:04:34	DH8D	A	69,8	71,7	80,9
3	18-11-2020 11:04:16	B77W	A	74,2	78,5	88,1
3	18-11-2020 11:37:42	E190	A	70,3	73,8	83,5
3	18-11-2020 11:44:42	E75L	A	71,4	73,2	81,8
3	18-11-2020 11:52:38	B789	A	71,8	74,1	83,9
3	18-11-2020 12:52:59	DH8D	A	69,9	71,9	81,4
3	18-11-2020 12:55:39	E75S	A	69,3	70,9	80,7
3	18-11-2020 13:17:58	DH8D	A	71,2	73,7	83,5
3	18-11-2020 13:20:03	E75S	A	70,8	73,0	82,5
3	18-11-2020 13:21:58	C295	A	71,4	74,1	82,9
3	18-11-2020 13:26:08	E170	A	70,3	72,4	80,7
3	18-11-2020 13:27:57	DH8D	A	69,1	71,3	80,5
3	18-11-2020 13:30:21	E75S	A	71,1	72,6	82,5
3	18-11-2020 13:32:24	DH8D	A	68,4	69,9	78,8
3	18-11-2020 13:47:59	E75S	A	70,2	72,7	81,0
3	18-11-2020 13:58:34	E195	A	71,4	74,2	83,4
3	18-11-2020 14:07:12	DH8D	A	69,1	70,2	79,6
3	18-11-2020 14:09:35	E75S	A	70,4	72,5	81,9
3	18-11-2020 14:11:35	E195	A	71,8	74,6	83,8
3	18-11-2020 14:16:39	E170	A	70,3	72,3	82,8
3	18-11-2020 14:18:45	DH8D	A	69,4	70,7	79,8
3	18-11-2020 14:29:53	E75S	A	71,3	73,2	83,1
3	18-11-2020 14:43:40	E170	A	71,2	73,6	82,3
3	18-11-2020 14:52:24	E170	A	70,0	72,6	81,1
3	18-11-2020 15:05:11	E75S	A	70,1	73,3	83,3
3	18-11-2020 15:07:47	E75S	A	70,3	73,3	81,1
3	18-11-2020 15:10:14	A319	A	71,1	73,8	82,2
3	18-11-2020 15:21:25	DH8D	A	69,7	70,9	78,7
3	18-11-2020 16:16:51	P180	A	75,2	79,1	89,8
3	18-11-2020 17:52:26	GLF5	A	68,4	69,6	77,4
3	18-11-2020 18:37:27	AT75	A	69,9	71,7	81,4
3	18-11-2020 18:52:03	DH8D	A	69,6	72,2	82,6
3	18-11-2020 19:10:41	DH8D	A	69,3	71,1	80,7
3	18-11-2020 21:21:08	B763	D	66,9	69,0	78,1
3	19-11-2020 07:11:17	B738	D	70,4	74,7	84,7
3	19-11-2020 12:14:21	E170	A	69,5	71,3	80,6
3	19-11-2020 12:16:18	E75S	A	71,9	73,8	82,6
3	19-11-2020 12:28:24	E75S	A	70,8	73,6	81,6
3	19-11-2020 12:33:49	B789	A	74,0	77,4	86,8
3	19-11-2020 12:39:42	AT75	A	69,7	71,5	80,9
3	19-11-2020 12:54:39	E75S	A	71,5	74,1	83,2
3	19-11-2020 13:17:24	B789	A	73,2	76,3	86,4
3	19-11-2020 13:21:35	B77W	A	72,8	77,7	87,7
3	19-11-2020 13:24:13	DH8D	A	69,5	73,9	88,0
3	19-11-2020 13:27:51	C295	A	69,8	74,7	84,9
3	19-11-2020 13:30:30	DH8D	A	68,6	71,7	87,5
3	19-11-2020 13:33:05	B738	A	71,7	76,3	88,0
3	19-11-2020 13:41:27	B788	A	70,2	75,8	87,7
3	19-11-2020 13:46:20	P180	A	69,4	71,0	74,1

Nr punktu pomiarowego	Data i godz. zdarzenia	Samolot	Operacja*	L _{Aeq}	L _{Amax}	L _{AE}
				[dB]	[dB]	[dB]
3	19-11-2020 14:25:54	B788	A	71,5	76,0	87,0
3	19-11-2020 15:21:43	C295	A	70,3	72,9	80,8
3	19-11-2020 15:43:14	E75S	D	69,5	74,4	86,9
3	19-11-2020 15:45:07	E170	D	68,3	70,5	82,1
3	19-11-2020 16:07:04	B738	A	71,2	76,0	86,7
3	19-11-2020 16:45:32	M28	A	73,4	76,6	84,9
3	19-11-2020 16:56:16	C680	A	68,0	69,3	78,0
3	19-11-2020 18:03:10	E195	A	71,8	74,6	83,5
3	19-11-2020 18:36:13	DH8D	A	67,6	68,0	77,1
3	19-11-2020 18:43:44	E75S	A	69,0	69,8	80,8
3	19-11-2020 18:45:49	DH8D	A	69,1	70,0	79,5
3	19-11-2020 18:47:56	E75S	A	70,1	72,9	81,9
3	19-11-2020 18:50:05	DH8D	A	68,4	71,0	80,1
3	19-11-2020 18:52:04	E75S	A	70,9	74,2	82,4
3	19-11-2020 18:54:11	E170	A	70,3	72,9	81,4
3	19-11-2020 18:56:43	DH8D	A	69,2	71,8	84,0
3	19-11-2020 18:59:18	E195	A	72,3	75,3	85,5
3	19-11-2020 19:01:15	E170	A	67,5	68,3	79,3
3	19-11-2020 19:04:39	C510	A	67,2	67,8	78,3
3	19-11-2020 19:06:59	DH8D	A	67,6	69,5	79,6
3	19-11-2020 19:09:20	E75S	A	70,9	74,2	83,5
3	19-11-2020 19:11:42	E195	A	71,3	75,5	86,9
3	19-11-2020 19:15:44	E170	A	69,9	72,8	83,3
3	19-11-2020 19:24:02	AT75	A	69,9	74,1	83,9
3	19-11-2020 19:29:30	E75S	A	70,7	73,5	83,2
3	19-11-2020 19:41:04	E75S	A	71,0	73,9	83,3
3	19-11-2020 20:01:04	E170	A	70,6	75,3	85,2
3	19-11-2020 20:23:55	B734	A	73,7	79,2	87,5
3	19-11-2020 20:38:57	AN26	A	71,7	76,6	84,0
3	19-11-2020 20:48:52	E170	A	70,4	72,9	82,4
3	19-11-2020 20:51:29	DH8D	A	67,3	69,2	80,3
3	19-11-2020 20:59:15	B738	A	73,0	75,2	85,7
3	19-11-2020 21:01:31	E195	A	71,7	75,3	84,9
3	20-11-2020 06:12:41	B734	A	73,7	78,5	86,7
3	20-11-2020 07:19:24	AT72	A	68,6	69,9	78,6
3	20-11-2020 07:46:43	P180	A	75,3	79,9	91,0
3	20-11-2020 08:40:40	E75S	A	70,8	74,4	82,5
3	20-11-2020 08:44:43	C295	A	70,6	74,2	82,0
3	20-11-2020 08:48:00	C295	A	70,6	73,2	82,0
3	20-11-2020 09:06:49	DH8D	A	69,2	71,1	79,6
3	20-11-2020 09:25:03	DH8D	A	69,1	70,9	79,9
3	20-11-2020 09:29:31	AT72	A	70,6	72,4	82,4
3	20-11-2020 09:58:15	DH8D	A	69,8	73,5	81,0
3	20-11-2020 11:12:12	B77W	A	74,6	78,3	88,9
3	20-11-2020 11:46:02	E75L	A	71,0	73,4	82,8
3	20-11-2020 12:08:17	E170	A	70,5	72,7	82,6
3	20-11-2020 12:58:21	DH8D	A	71,0	73,6	82,2
3	20-11-2020 13:02:42	DH8D	A	69,1	70,7	79,9
3	20-11-2020 13:11:23	E75S	A	71,1	73,8	82,2
3	20-11-2020 13:13:34	DH8D	A	68,9	69,9	78,0
3	20-11-2020 13:20:33	AT75	A	68,7	71,0	81,0
3	20-11-2020 13:23:34	SF34	A	68,3	69,6	78,7
3	20-11-2020 13:26:07	E75S	A	71,7	74,4	83,4
3	20-11-2020 13:28:41	DH8D	A	68,8	69,8	78,3
3	20-11-2020 13:35:13	DH8D	A	69,3	71,0	79,3
3	20-11-2020 13:57:17	E75S	A	71,2	74,8	84,0
3	20-11-2020 14:02:04	DH8D	A	68,3	70,2	77,8

Nr punktu pomiarowego	Data i godz. zdarzenia	Samolot	Operacja*	L _{Aeq}	L _{Amax}	L _{AE}
				[dB]	[dB]	[dB]
3	20-11-2020 14:11:00	B733	A	73,1	76,9	85,1
3	20-11-2020 14:13:23	E195	A	71,4	75,1	84,4
3	20-11-2020 14:21:07	E170	A	71,3	73,9	83,1
3	20-11-2020 14:23:30	E75S	A	70,2	72,5	81,6
3	20-11-2020 14:36:51	E170	A	71,6	74,6	84,4
3	20-11-2020 14:48:07	E75S	A	70,8	72,9	81,6
3	20-11-2020 14:57:44	E75S	A	70,0	73,5	80,4
3	20-11-2020 15:18:28	A319	A	68,3	73,0	85,2
3	20-11-2020 15:21:12	C295	A	71,2	73,5	82,3
3	20-11-2020 15:35:48	PC12	A	71,4	74,6	82,6
3	20-11-2020 16:20:25	E170	A	69,4	71,1	80,6
3	20-11-2020 16:35:11	M28	A	70,0	71,4	79,0
3	20-11-2020 17:13:59	CRJ9	A	68,4	69,8	79,8
3	20-11-2020 17:46:13	A333	A	74,5	80,6	89,1
3	20-11-2020 18:27:18	C56X	A	69,2	72,5	81,8
3	20-11-2020 18:49:04	E75S	A	69,7	71,5	82,0
3	20-11-2020 18:55:49	DH8D	A	67,2	68,6	76,2
3	20-11-2020 19:24:20	PRM1	A	72,5	75,5	83,6
3	20-11-2020 19:39:43	AT75	A	69,4	71,5	80,6
3	20-11-2020 19:44:14	E75S	A	70,3	72,1	81,4
3	20-11-2020 20:10:45	E75S	A	70,2	72,7	81,7
3	20-11-2020 20:13:17	B734	A	73,4	76,3	84,9
3	20-11-2020 20:31:53	E170	A	69,6	71,7	82,6
3	20-11-2020 20:40:35	DH8D	A	69,2	70,9	79,2
3	20-11-2020 20:53:37	E75S	A	70,3	73,0	81,7
3	20-11-2020 20:56:10	E75S	A	70,4	73,5	81,8
3	20-11-2020 21:02:57	E75S	A	69,6	71,7	80,8
3	20-11-2020 21:09:43	E75S	A	69,9	71,8	81,3
3	20-11-2020 21:12:12	E170	A	71,3	73,5	83,6
3	20-11-2020 21:17:35	E75S	A	69,5	71,4	80,3
3	20-11-2020 21:19:47	E75S	A	70,8	73,4	83,4
3	20-11-2020 21:22:06	E75S	A	69,4	71,7	80,6
3	20-11-2020 21:26:55	E195	A	71,9	74,6	84,4
3	20-11-2020 21:30:28	B738	A	72,2	75,0	84,6
3	20-11-2020 21:37:01	E170	A	70,1	71,9	80,9
3	20-11-2020 21:39:31	E170	A	69,9	72,4	82,2
3	20-11-2020 21:50:28	B738	A	71,9	75,6	85,1
3	20-11-2020 21:53:12	E170	A	71,3	74,3	84,3
3	20-11-2020 21:58:15	DH8D	A	68,8	70,1	78,4
3	21-11-2020 06:10:31	E75S	A	68,2	69,4	78,2
3	21-11-2020 06:12:44	DH8D	A	68,6	70,6	80,4
3	21-11-2020 06:18:48	A21N	A	69,6	71,9	81,7
3	21-11-2020 06:34:54	B738	A	72,9	76,8	84,9
3	21-11-2020 07:37:13	A320	A	69,0	70,5	78,6
3	21-11-2020 08:39:00	AT75	A	68,9	69,9	78,9
3	21-11-2020 09:30:39	A21N	A	70,2	72,3	80,6
3	21-11-2020 11:49:55	P180	A	74,0	79,2	90,5
3	21-11-2020 11:55:34	E190	A	71,1	73,7	83,4
3	21-11-2020 11:59:26	E190	A	71,3	74,5	82,8
3	21-11-2020 12:06:06	B789	A	72,4	76,1	85,2
3	21-11-2020 12:11:31	B789	A	71,9	73,9	84,7
3	21-11-2020 12:29:18	B738	A	73,8	76,8	85,6
3	21-11-2020 12:57:03	B789	A	72,1	75,3	84,9
3	21-11-2020 13:32:37	DH8D	A	72,8	77,1	84,9
3	21-11-2020 13:35:13	B738	A	72,6	75,7	85,3
3	21-11-2020 13:39:54	B788	A	71,8	74,7	84,8
3	21-11-2020 13:55:05	B735	A	72,3	75,3	84,1

Nr punktu pomiarowego	Data i godz. zdarzenia	Samolot	Operacja*	L _{Aeq}	L _{Amax}	L _{AE}
				[dB]	[dB]	[dB]
3	21-11-2020 14:08:03	E190	A	71,1	73,9	82,2
3	21-11-2020 15:17:51	A319	A	72,2	74,3	83,3
3	21-11-2020 16:20:12	A21N	A	68,5	70,0	79,3
3	21-11-2020 17:52:17	E75S	A	68,7	71,0	81,2
3	21-11-2020 18:30:22	DH8D	A	66,9	71,5	82,4
3	21-11-2020 18:35:36	DH8D	A	71,1	73,4	81,5
3	21-11-2020 18:38:15	DH8D	A	67,8	70,0	79,6
3	21-11-2020 18:42:16	E170	A	70,2	72,2	80,6
3	21-11-2020 18:52:10	DH8D	A	70,8	72,1	81,6
3	21-11-2020 19:11:46	B738	A	74,1	77,9	86,4
3	21-11-2020 19:15:19	E170	A	70,4	72,7	81,8
3	21-11-2020 19:28:47	E75S	A	70,2	72,1	80,6
3	22-11-2020 08:32:40	DH8D	A	67,8	68,6	76,9
3	22-11-2020 09:15:57	A21N	A	69,9	72,1	81,9
3	22-11-2020 10:37:26	E170	D	68,8	70,1	78,8
3	22-11-2020 11:26:21	B789	A	71,0	73,8	83,5
3	22-11-2020 12:23:02	B77W	A	73,9	77,1	87,7
3	22-11-2020 13:09:41	E170	A	71,4	73,3	82,1
3	22-11-2020 13:16:48	DH8D	A	68,1	69,2	78,5
3	22-11-2020 13:19:54	DH8D	A	69,4	71,9	79,4
3	22-11-2020 13:22:35	DH8D	A	67,9	71,8	81,3
3	22-11-2020 13:25:03	DH8D	A	68,6	71,0	79,0
3	22-11-2020 13:35:58	E195	A	72,8	76,3	85,1
3	22-11-2020 13:39:08	E75S	A	70,8	74,3	83,3
3	22-11-2020 13:53:53	E75S	A	70,7	73,6	82,2
3	22-11-2020 13:57:02	E75S	A	73,7	77,2	85,5
3	22-11-2020 13:59:01	E75S	A	70,5	72,3	82,6
3	22-11-2020 14:01:03	A20N	A	71,4	74,3	83,5
3	22-11-2020 14:06:45	B789	A	72,0	75,2	85,4
3	22-11-2020 14:14:11	E190	A	71,7	74,5	84,0
3	22-11-2020 14:25:03	E195	A	72,0	76,4	84,3
3	22-11-2020 14:27:23	E170	A	70,7	74,3	82,8
3	22-11-2020 14:34:34	E170	A	70,0	72,5	81,5
3	22-11-2020 14:50:26	E75S	A	71,0	75,2	83,0
3	22-11-2020 14:55:38	B789	A	72,4	74,8	85,2
3	22-11-2020 14:58:01	E170	A	69,2	71,7	81,5
3	22-11-2020 15:02:49	B788	A	72,8	76,4	86,3
3	22-11-2020 15:24:21	CRJ9	A	69,3	71,4	80,1
3	22-11-2020 15:48:11	E75L	A	71,2	74,1	83,7
3	22-11-2020 15:52:11	E170	A	70,9	73,7	83,3
3	22-11-2020 16:24:12	A21N	A	70,0	71,9	81,8
3	22-11-2020 16:50:41	CRJ9	A	67,0	69,5	77,0
3	22-11-2020 17:51:25	A320	A	69,7	72,2	81,5
3	22-11-2020 17:55:48	E290	A	70,0	72,9	81,4
3	22-11-2020 18:28:12	E55P	A	68,5	71,1	78,5
3	22-11-2020 18:37:09	A21N	A	71,9	74,5	84,2
3	22-11-2020 18:51:57	DH8D	A	70,6	73,5	82,9
3	22-11-2020 18:55:00	DH8D	A	69,2	70,2	78,8
3	22-11-2020 19:02:18	DH8D	A	68,3	70,1	78,3
3	22-11-2020 19:04:46	E195	A	73,0	77,7	85,3
3	22-11-2020 19:15:10	E75S	A	71,4	74,5	84,0
3	22-11-2020 19:18:28	PC12	A	68,8	70,7	80,3
3	22-11-2020 19:27:14	E75S	A	70,3	72,2	81,7
3	22-11-2020 19:30:25	DH8D	A	67,8	69,2	77,8
3	22-11-2020 19:50:33	E75S	A	71,0	73,9	83,6
3	22-11-2020 19:57:23	B738	A	72,3	76,6	85,1
3	22-11-2020 20:21:30	E170	A	69,2	71,6	81,0

Nr punktu pomiarowego	Data i godz. zdarzenia	Samolot	Operacja*	L _{Aeq}	L _{Amax}	L _{AE}
				[dB]	[dB]	[dB]
3	22-11-2020 20:44:17	DH8D	A	71,0	72,9	82,2
3	22-11-2020 20:48:56	E75S	A	69,6	72,0	81,4
3	22-11-2020 20:51:19	E75S	A	70,5	73,3	82,0
3	22-11-2020 20:53:58	E75S	A	69,8	72,7	81,6
3	22-11-2020 20:56:06	E195	A	71,9	75,3	84,2
3	22-11-2020 21:00:50	E170	A	70,0	72,1	81,5
3	22-11-2020 21:03:04	E170	A	70,0	72,2	81,5
3	22-11-2020 21:06:59	E75S	A	71,6	74,6	82,4
3	22-11-2020 21:10:28	E75S	A	71,3	74,8	83,8
3	22-11-2020 21:18:28	E75S	A	70,7	74,0	82,5
3	22-11-2020 21:21:02	E190	A	72,0	74,2	83,7
3	22-11-2020 21:22:53	E195	A	72,5	75,7	84,5
3	22-11-2020 21:32:30	E170	A	70,8	72,2	81,6
3	22-11-2020 21:36:45	E195	A	71,4	73,8	83,4
3	22-11-2020 21:45:39	B738	A	72,8	76,5	86,0
3	22-11-2020 21:56:00	DH8D	A	69,8	73,1	80,6
3	23-11-2020 06:03:15	DH8D	A	68,9	70,1	78,9
3	23-11-2020 06:05:26	DH8D	A	70,7	71,5	81,2
3	23-11-2020 06:07:23	E190	A	72,0	75,4	84,3
3	23-11-2020 06:09:18	E170	A	68,6	70,9	80,4
3	23-11-2020 06:14:30	B752	A	73,0	76,0	86,8
3	23-11-2020 06:16:35	DH8D	A	72,0	74,8	82,5
3	23-11-2020 06:18:58	DH8D	A	73,4	75,9	85,4
3	23-11-2020 06:53:37	B738	A	72,4	76,9	86,0
3	23-11-2020 07:47:24	P180	A	75,1	81,0	91,3
3	23-11-2020 08:13:04	A320	A	71,5	72,9	83,3
3	23-11-2020 08:25:05	E75S	A	69,8	72,1	80,6
3	23-11-2020 08:29:05	B789	A	72,5	75,4	85,5
3	23-11-2020 08:59:23	AT75	A	69,2	70,9	80,6
3	23-11-2020 09:08:31	DH8D	A	70,5	73,6	81,6
3	23-11-2020 09:11:22	DH8D	A	69,1	71,7	79,1
3	23-11-2020 09:56:55	DH8D	A	69,2	74,9	84,2
3	23-11-2020 10:16:39	E75S	A	71,8	73,9	82,9
3	23-11-2020 10:21:48	B789	A	71,9	74,4	84,9
3	23-11-2020 11:00:08	DH8D	A	68,8	70,8	79,9
3	23-11-2020 11:02:00	E75S	A	70,1	72,7	81,5
3	23-11-2020 11:24:06	E190	A	71,1	72,9	82,8
3	23-11-2020 11:37:55	E75S	A	70,8	73,0	82,3
3	23-11-2020 11:40:52	E170	A	70,8	74,7	81,9
3	23-11-2020 11:43:46	E195	A	70,8	74,5	83,6
3	23-11-2020 11:46:56	E75L	A	69,7	73,3	83,3
3	23-11-2020 11:49:46	E170	A	70,6	72,6	82,3
3	23-11-2020 11:52:33	E170	A	70,4	71,3	80,4
3	23-11-2020 11:55:29	E75S	A	70,9	73,5	82,0
3	23-11-2020 11:58:13	E75S	A	70,2	73,1	81,9
3	23-11-2020 12:18:32	E190	A	70,5	73,3	83,2
3	23-11-2020 12:24:39	E190	A	71,5	74,9	84,1
3	23-11-2020 12:31:40	B788	A	71,8	74,2	84,6
3	23-11-2020 12:48:42	SF34	A	68,6	70,7	80,4
3	23-11-2020 12:56:14	AT72	A	73,7	78,2	86,2
3	23-11-2020 13:05:34	DH8D	A	69,7	71,4	80,5
3	23-11-2020 13:08:27	DH8D	A	69,5	71,7	81,3
3	23-11-2020 13:16:32	B788	A	71,9	75,5	85,7
3	23-11-2020 13:19:34	DH8D	A	68,2	69,3	79,0
3	23-11-2020 13:21:39	DH8D	A	70,1	73,5	81,6
3	23-11-2020 13:24:04	E75S	A	70,2	73,8	83,4
3	23-11-2020 13:26:28	DH8D	A	69,6	71,3	79,6

Nr punktu pomiarowego	Data i godz. zdarzenia	Samolot	Operacja*	L _{Aeq}	L _{Amax}	L _{AE}
				[dB]	[dB]	[dB]
3	23-11-2020 13:30:08	B738	A	72,2	75,9	85,7
3	23-11-2020 13:36:08	B789	A	71,7	74,8	84,5
3	23-11-2020 13:56:49	E75L	A	71,0	73,9	82,5
3	23-11-2020 13:58:50	B738	A	71,0	75,4	83,5
3	23-11-2020 14:12:39	DH8D	A	69,6	71,7	80,0
3	23-11-2020 14:14:51	E75S	A	71,0	72,7	83,6
3	23-11-2020 16:02:13	A319	A	72,7	76,1	86,1
3	23-11-2020 18:27:34	E195	A	71,6	74,8	84,4
3	23-11-2020 18:30:58	DH8D	A	70,2	73,0	82,5
3	23-11-2020 18:33:27	AT75	A	70,6	72,6	82,6
3	23-11-2020 18:40:55	E170	A	70,1	72,6	82,2
3	23-11-2020 18:44:14	E75S	A	70,7	74,8	83,0
3	23-11-2020 18:50:37	E75S	A	70,4	73,4	82,8
3	23-11-2020 18:52:39	E170	A	70,3	73,7	82,4
3	23-11-2020 18:55:25	DH8D	A	68,1	69,2	79,8
3	23-11-2020 18:57:37	DH8D	A	67,2	69,2	77,2
3	23-11-2020 19:01:00	DH8D	A	70,4	73,1	80,8
3	23-11-2020 19:04:35	E195	A	70,8	74,3	84,2
3	23-11-2020 19:07:34	B738	A	70,4	72,8	83,4
3	23-11-2020 19:09:40	E75S	A	71,3	74,0	84,3
3	23-11-2020 19:12:17	CL60	A	66,8	69,0	76,8
3	23-11-2020 19:14:35	E75S	A	70,1	72,5	82,6
3	23-11-2020 19:26:36	E75S	A	71,9	75,7	84,7
3	23-11-2020 19:39:53	E170	A	70,2	72,9	83,0
3	23-11-2020 19:42:27	E75S	A	71,0	72,9	82,5
3	23-11-2020 19:48:16	E75S	A	70,5	72,0	81,6
3	23-11-2020 20:01:38	E190	A	71,7	74,6	84,5
3	23-11-2020 20:03:32	P180	A	75,0	81,2	91,8
3	23-11-2020 20:27:35	B734	A	74,4	80,4	88,4
3	23-11-2020 20:44:57	DH8D	A	68,8	74,3	87,4
3	23-11-2020 21:01:26	E75S	A	70,5	75,3	82,6
3	23-11-2020 21:06:40	E75S	A	70,8	73,6	81,6
3	23-11-2020 21:41:03	A320	A	69,6	71,9	81,6
3	23-11-2020 21:47:50	DH8D	A	71,6	75,1	83,6
3	24-11-2020 06:04:17	DH8D	A	69,5	71,5	81,3
3	24-11-2020 06:06:38	A306	A	73,8	77,7	88,1
3	24-11-2020 06:09:00	DH8D	A	68,8	70,8	79,6
3	24-11-2020 06:10:57	DH8D	A	69,4	72,1	81,2
3	24-11-2020 06:45:09	C130	A	76,5	80,8	89,0
3	24-11-2020 06:57:09	B734	A	73,1	76,6	85,2
3	24-11-2020 07:13:03	AT72	A	71,7	75,1	84,3
3	24-11-2020 07:44:24	A320	A	69,8	71,7	81,6
3	24-11-2020 08:09:40	AT75	A	70,9	72,4	82,1
3	24-11-2020 08:33:55	C56X	A	68,6	69,8	78,6
3	24-11-2020 08:54:44	TBM8	A	70,0	71,9	80,4
3	24-11-2020 09:18:00	DH8D	A	67,8	70,9	82,5
3	24-11-2020 11:38:05	B789	A	72,3	77,5	88,3
3	24-11-2020 11:50:05	E75S	A	69,8	72,1	82,1
3	24-11-2020 11:56:08	E170	A	69,0	72,2	82,2
3	24-11-2020 12:06:25	E170	A	70,3	72,9	82,4
3	24-11-2020 12:55:52	B788	A	71,0	74,1	84,7
3	24-11-2020 13:56:52	E75S	A	70,6	73,9	82,4
3	24-11-2020 15:03:45	B789	A	71,4	74,2	84,6
3	24-11-2020 15:13:42	A319	A	69,9	72,2	81,0
3	24-11-2020 15:35:03	AT72	A	71,7	74,3	83,2
3	24-11-2020 16:02:04	E75L	A	73,1	74,9	83,9
3	24-11-2020 18:07:58	DH8D	A	67,6	69,3	78,4

Nr punktu pomiarowego	Data i godz. zdarzenia	Samolot	Operacja*	L _{Aeq}	L _{Amax}	L _{AE}
				[dB]	[dB]	[dB]
3	24-11-2020 18:42:16	GLF5	A	69,5	71,6	79,9
3	24-11-2020 18:56:58	E75S	A	72,4	75,2	84,2
3	24-11-2020 18:59:23	DH8D	A	67,3	68,5	78,1
3	24-11-2020 19:12:39	E170	A	70,2	72,5	82,0
3	24-11-2020 20:01:52	B763	A	71,0	73,4	84,4
3	24-11-2020 20:05:55	AT75	A	69,9	72,5	81,9
3	24-11-2020 20:17:29	B734	A	72,8	75,9	84,8
3	24-11-2020 20:46:47	DH8D	A	69,0	70,2	79,0
3	24-11-2020 21:14:08	E75S	A	70,0	72,3	81,8
3	24-11-2020 21:27:34	B738	A	72,1	74,5	83,9
3	24-11-2020 21:50:04	DH8D	A	68,6	69,8	77,6
3	25-11-2020 06:24:58	B789	A	72,7	76,1	85,3
3	25-11-2020 06:27:49	B734	A	73,3	76,3	84,8
3	25-11-2020 07:13:38	AT72	A	70,5	72,3	81,3
3	25-11-2020 08:10:46	AT75	A	69,8	71,4	80,6
3	25-11-2020 08:25:13	E75S	A	71,2	73,5	83,2
3	25-11-2020 10:41:27	C56X	A	68,2	69,5	77,2
3	25-11-2020 11:15:31	B77W	A	73,4	78,4	86,8
3	25-11-2020 11:40:47	E190	A	70,8	75,2	82,2
3	25-11-2020 11:52:14	E75L	A	71,0	72,6	82,1
3	25-11-2020 11:56:33	B789	A	70,8	73,2	83,8
3	25-11-2020 12:08:00	E75S	A	70,0	72,6	80,8
3	25-11-2020 12:38:07	AT72	A	73,0	76,0	86,0
3	25-11-2020 13:11:36	DH8D	A	70,1	72,1	81,6
3	25-11-2020 13:16:12	E170	A	70,3	71,7	80,3
3	25-11-2020 13:18:11	E75S	A	69,5	71,6	81,3
3	25-11-2020 13:19:41	DH8D	A	69,3	71,3	80,4
3	25-11-2020 13:22:07	DH8D	A	70,9	72,9	82,7
3	25-11-2020 13:25:02	DH8D	A	68,3	69,5	78,7
3	25-11-2020 13:30:26	E75S	A	71,0	73,7	83,5
3	25-11-2020 13:34:33	DH8D	A	70,5	73,3	82,3
3	25-11-2020 13:55:27	E170	A	71,3	74,1	81,7
3	25-11-2020 13:57:25	B738	A	72,5	74,6	84,2
3	25-11-2020 13:59:12	DH8D	A	69,2	70,6	78,3
3	25-11-2020 14:18:20	B788	A	73,7	77,0	86,5
3	25-11-2020 14:21:40	DH8D	A	69,5	71,1	79,9
3	25-11-2020 14:23:26	E170	A	71,0	73,5	82,5
3	25-11-2020 14:33:22	B789	A	71,2	73,3	84,2
3	25-11-2020 14:35:34	E75S	A	71,5	74,9	83,8
3	25-11-2020 14:45:56	E170	A	69,8	70,9	79,8
3	25-11-2020 14:51:25	E75S	A	70,0	72,0	80,8
3	25-11-2020 15:02:03	P180	D	68,9	70,9	80,3
3	25-11-2020 15:10:54	A319	A	71,4	74,6	82,5
3	25-11-2020 15:19:14	E195	A	72,1	74,5	83,2
3	25-11-2020 15:43:16	E75L	A	72,0	74,2	83,7
3	25-11-2020 16:16:49	P180	A	73,1	78,5	89,1
3	25-11-2020 17:42:15	A319	A	71,7	73,4	83,4
3	25-11-2020 17:48:50	C295	A	71,9	74,6	83,0
3	25-11-2020 18:16:11	AT75	A	69,6	70,9	78,6
3	26-11-2020 06:18:04	DH8D	A	71,0	72,9	82,7
3	26-11-2020 06:24:35	DH8D	A	69,7	71,8	80,9
3	26-11-2020 06:26:28	DH8D	A	68,7	70,5	79,1
3	26-11-2020 06:29:59	DH8D	A	68,2	69,5	79,4
3	26-11-2020 06:32:13	B734	A	71,8	74,3	83,6
3	26-11-2020 06:41:40	DH8D	A	68,2	69,2	77,8
3	26-11-2020 07:13:40	AT72	A	72,4	75,4	83,6
3	26-11-2020 07:57:21	AT75	A	71,2	72,3	81,2

Nr punktu pomiarowego	Data i godz. zdarzenia	Samolot	Operacja*	L _{Aeq}	L _{Amax}	L _{AE}
				[dB]	[dB]	[dB]
3	26-11-2020 09:23:11	DH8D	A	70,8	73,0	82,9
3	26-11-2020 10:57:51	A21N	A	72,5	74,6	83,6
3	26-11-2020 11:12:59	E75S	A	71,6	74,4	83,9
3	26-11-2020 11:43:45	E75S	A	69,9	71,8	80,7
3	26-11-2020 11:46:58	E75S	A	70,4	73,1	82,1
3	26-11-2020 12:01:08	E75S	A	70,8	74,7	83,4
3	26-11-2020 12:04:06	E75S	A	70,1	72,1	81,6
3	26-11-2020 12:08:32	E195	A	72,4	75,2	84,2
3	26-11-2020 12:10:52	E75S	A	71,0	73,2	82,7
3	26-11-2020 12:13:33	E170	A	69,9	72,6	81,1
3	26-11-2020 12:17:21	AT72	A	72,7	75,6	85,0
3	26-11-2020 12:21:32	E195	A	72,6	75,6	83,8
3	26-11-2020 12:34:26	B788	A	71,4	74,0	84,4
3	26-11-2020 12:52:07	B788	A	70,8	73,0	83,4
3	26-11-2020 12:56:48	B738	A	70,2	72,7	83,3
3	26-11-2020 13:04:11	DH8D	A	68,8	70,3	79,6
3	26-11-2020 13:06:58	E170	A	70,1	71,9	80,1
3	26-11-2020 13:10:04	DH8D	A	70,4	72,5	82,2
3	26-11-2020 13:28:53	DH8D	A	68,8	71,2	79,9
3	26-11-2020 13:31:16	B738	A	72,2	74,5	84,8
3	26-11-2020 13:36:40	B788	A	71,8	74,4	85,2
3	26-11-2020 14:06:43	B789	A	72,9	75,8	85,9
3	26-11-2020 14:56:52	B77W	A	74,4	80,5	87,8
3	26-11-2020 15:09:02	C130	A	75,1	79,9	88,3
3	26-11-2020 15:11:21	A319	A	70,6	72,5	82,1
3	26-11-2020 16:03:36	C56X	A	70,2	71,9	79,7
3	26-11-2020 16:05:52	E75L	A	71,0	73,8	82,1
3	26-11-2020 16:09:32	B739	A	73,5	77,0	85,8
3	26-11-2020 16:25:51	B738	A	72,9	76,5	85,7
3	26-11-2020 17:39:34	GLF5	A	67,3	69,2	76,9
3	26-11-2020 18:01:02	B789	A	71,2	74,6	84,8
3	26-11-2020 18:06:15	E195	A	72,8	75,9	84,6
3	26-11-2020 18:19:20	C295	A	71,8	73,7	82,2
3	26-11-2020 18:30:15	E75S	A	71,6	74,3	83,4
3	26-11-2020 18:35:20	E75S	A	70,0	71,9	80,4
3	26-11-2020 18:42:45	E75S	A	71,0	74,3	83,0
3	26-11-2020 18:48:18	E170	A	70,3	71,6	80,3
3	26-11-2020 18:51:50	E170	A	69,6	71,0	79,6
3	26-11-2020 18:53:53	DH8D	A	69,1	71,5	78,2
3	26-11-2020 18:55:52	DH8D	A	68,6	69,8	78,2
3	26-11-2020 18:58:02	A19N	A	70,7	72,7	82,5
3	26-11-2020 19:00:04	AT75	A	69,6	71,9	81,1
3	26-11-2020 19:02:27	B738	A	71,9	75,1	84,7
3	26-11-2020 19:04:40	B738	A	71,3	75,5	84,8
3	26-11-2020 19:06:41	E75S	A	70,4	73,2	81,2
3	26-11-2020 19:08:57	E75S	A	70,5	72,2	81,6
3	26-11-2020 19:11:17	E170	A	69,2	71,4	80,0
3	26-11-2020 19:20:27	E190	A	70,8	73,7	83,3
3	26-11-2020 19:27:44	E75S	A	69,6	70,9	80,0
3	26-11-2020 19:50:48	E75S	A	68,7	71,0	80,7
3	26-11-2020 20:23:29	B734	A	71,7	74,8	83,4
3	26-11-2020 20:47:58	E75S	A	69,5	71,7	81,0
3	26-11-2020 20:49:46	DH8D	A	69,3	70,5	78,8
3	26-11-2020 20:53:32	DH8D	A	68,7	69,9	78,2
3	26-11-2020 21:18:02	B738	A	73,3	77,0	85,9
3	26-11-2020 21:50:39	E195	A	71,6	77,3	83,9
3	27-11-2020 06:01:57	B763	A	82,8	90,3	97,2

Nr punktu pomiarowego	Data i godz. zdarzenia	Samolot	Operacja*	L _{Aeq}	L _{Amax}	L _{AE}
				[dB]	[dB]	[dB]
3	27-11-2020 06:29:27	B734	A	73,6	77,0	84,7
3	27-11-2020 07:11:49	AT75	A	71,1	73,3	81,6
3	27-11-2020 07:53:58	AT75	A	71,2	72,4	81,6
3	27-11-2020 08:38:18	E75S	A	69,3	72,0	81,8
3	27-11-2020 08:56:41	B789	A	70,5	76,3	83,5
3	27-11-2020 09:25:03	DH8D	A	68,2	70,8	79,6
3	27-11-2020 10:06:55	DH8D	A	70,1	72,8	81,3
3	27-11-2020 10:52:05	B77W	A	73,9	79,0	89,1
3	27-11-2020 12:06:21	E170	A	70,4	73,1	82,2
3	27-11-2020 12:15:07	E75L	A	69,6	72,4	81,0
3	27-11-2020 12:20:27	W3	A	74,7	79,7	89,5
3	27-11-2020 12:57:11	DH8D	A	70,3	72,7	81,4
3	27-11-2020 13:06:04	E195	A	71,8	75,2	84,8
3	27-11-2020 13:09:43	DH8D	A	68,9	70,3	80,1
3	27-11-2020 13:12:37	DH8D	A	68,3	70,3	78,3
3	27-11-2020 13:17:53	E170	A	70,9	73,5	83,5
3	27-11-2020 13:19:38	E195	A	71,2	74,1	84,4
3	27-11-2020 13:23:14	DH8D	A	68,5	69,8	80,6
3	27-11-2020 13:32:40	E75S	A	70,6	74,7	83,7
3	27-11-2020 13:35:44	E195	A	72,8	76,3	84,9
3	27-11-2020 13:45:23	AT72	A	72,4	75,0	84,4
3	27-11-2020 14:05:17	B738	A	72,8	76,4	85,3
3	27-11-2020 14:12:05	E170	A	70,2	72,5	82,2
3	27-11-2020 14:16:15	E170	A	69,8	72,7	82,8
3	27-11-2020 14:18:41	DH8D	A	69,0	70,4	79,8
3	27-11-2020 14:20:43	A20N	A	71,2	74,0	84,0
3	27-11-2020 14:23:00	E195	A	73,4	77,3	85,4
3	27-11-2020 14:24:58	E170	A	70,7	74,6	84,2
3	27-11-2020 14:41:04	B738	A	72,3	76,7	85,3
3	27-11-2020 14:47:40	E75S	A	70,7	74,5	83,5
3	27-11-2020 15:03:17	E75S	A	72,2	75,2	84,5
3	27-11-2020 15:21:12	A319	A	71,5	74,9	84,7
3	27-11-2020 15:23:57	DH8D	A	68,4	69,4	79,1
3	27-11-2020 16:05:13	SF34	A	70,2	72,9	79,7
3	27-11-2020 16:10:33	E75L	A	71,0	73,3	84,0
3	27-11-2020 16:18:07	P180	A	74,8	79,8	90,9
3	27-11-2020 16:30:55	A332	A	73,2	77,2	87,5
3	27-11-2020 16:51:32	E170	A	69,8	72,1	81,9
3	27-11-2020 17:33:43	A333	A	73,8	77,4	87,4
3	27-11-2020 18:28:59	AT75	A	68,9	71,0	79,7
3	27-11-2020 18:41:59	B788	A	71,3	76,1	87,0
3	27-11-2020 18:54:18	E75S	A	71,8	74,2	83,2
3	27-11-2020 18:56:13	DH8D	A	68,7	70,4	80,1
3	27-11-2020 18:58:47	DH8D	A	68,1	70,6	79,2
3	27-11-2020 20:03:17	DH8D	A	68,1	69,1	78,9
3	27-11-2020 20:13:42	B734	A	72,7	76,6	85,8
3	27-11-2020 20:35:57	E170	A	70,2	72,4	81,9
3	27-11-2020 20:46:31	DH8D	A	69,3	72,3	80,1
3	27-11-2020 20:53:16	E75S	A	70,2	72,9	82,2
3	27-11-2020 21:03:52	E75S	A	67,6	72,0	76,7
3	27-11-2020 21:07:31	E195	A	71,9	75,2	83,3
3	27-11-2020 21:16:58	E170	A	68,7	70,4	79,5
3	27-11-2020 21:19:22	E170	A	69,0	71,0	80,4
3	27-11-2020 21:24:09	B738	A	72,7	75,1	84,7
3	27-11-2020 21:26:55	E75S	A	70,0	72,7	81,5
3	27-11-2020 21:33:38	E170	A	70,2	71,6	81,7
3	27-11-2020 21:36:27	E195	A	71,2	73,7	83,3

Nr punktu pomiarowego	Data i godz. zdarzenia	Samolot	Operacja*	L _{Aeq}	L _{Amax}	L _{AE}
				[dB]	[dB]	[dB]
3	27-11-2020 21:40:27	E195	A	71,9	75,5	83,7
3	27-11-2020 21:42:19	E195	A	70,6	74,3	83,6
3	27-11-2020 21:47:24	B738	A	72,6	76,6	85,8
3	27-11-2020 21:52:58	E75S	A	69,8	74,1	82,4
3	27-11-2020 21:59:44	DH8D	A	67,7	69,6	77,3
3	28-11-2020 06:01:25	DH8D	A	68,7	70,3	79,8
3	28-11-2020 06:06:34	E195	A	70,9	73,7	83,0
3	28-11-2020 06:08:55	E170	A	69,9	73,5	83,1
3	28-11-2020 06:14:24	DH8D	A	68,4	69,8	78,4
3	28-11-2020 06:16:58	DH8D	A	69,6	72,0	82,4
3	28-11-2020 06:28:00	E170	A	69,5	72,5	81,3
3	28-11-2020 06:29:51	B789	A	71,7	75,0	86,0
3	28-11-2020 06:32:55	A21N	A	71,8	74,3	83,8
3	28-11-2020 07:30:38	A320	A	70,2	72,1	82,2
3	28-11-2020 08:51:40	AT75	A	70,8	72,8	82,2
3	28-11-2020 09:32:32	A21N	A	71,4	74,7	83,4
3	28-11-2020 11:51:42	E190	A	70,8	73,7	83,8
3	28-11-2020 12:22:03	B789	A	72,4	75,1	86,0
3	28-11-2020 12:30:49	B738	A	73,4	77,2	86,8
3	28-11-2020 12:47:55	B788	A	71,0	74,1	85,2
3	28-11-2020 13:18:35	B789	A	71,4	74,4	85,7
3	28-11-2020 13:24:54	B788	A	71,5	74,6	85,1
3	28-11-2020 13:28:30	B738	A	72,6	75,4	85,1
3	28-11-2020 13:33:34	DH8D	A	69,7	71,2	80,5
3	28-11-2020 13:50:34	E195	A	71,8	75,0	84,6
3	28-11-2020 14:02:19	SF34	A	66,9	67,4	76,0
3	28-11-2020 14:15:47	E195	A	72,0	74,2	84,0
3	28-11-2020 15:23:13	A319	A	71,5	74,3	83,8
3	28-11-2020 16:06:22	E190	A	71,2	75,3	85,2
3	28-11-2020 16:38:22	A21N	A	70,0	71,9	82,0
3	28-11-2020 17:41:16	SF34	A	67,7	68,4	76,7
3	28-11-2020 18:18:17	E75S	A	70,6	72,3	82,1
3	28-11-2020 18:32:12	DH8D	A	70,2	72,3	81,3
3	28-11-2020 18:36:20	E170	A	70,3	72,4	81,5
3	28-11-2020 18:47:40	DH8D	A	72,1	74,3	83,3
3	28-11-2020 18:56:36	DH8D	A	68,8	69,6	78,4
3	28-11-2020 18:59:34	DH8D	A	69,3	72,2	82,3
3	28-11-2020 19:22:29	B738	A	72,1	75,8	85,1
3	28-11-2020 19:40:32	E75S	A	71,1	73,3	82,6
3	28-11-2020 19:48:51	E170	A	70,3	72,3	82,1
3	28-11-2020 20:09:35	E170	A	71,1	74,0	83,9
3	28-11-2020 20:11:42	E170	A	70,5	73,2	82,2
3	29-11-2020 10:53:01	B77W	A	74,1	77,8	88,0
3	29-11-2020 11:47:38	B789	A	73,2	76,3	86,6
3	29-11-2020 13:12:15	E75S	A	71,4	73,8	83,2
3	29-11-2020 13:18:02	E170	A	70,5	73,1	82,0
3	29-11-2020 13:21:49	DH8D	A	68,5	70,1	77,6
3	29-11-2020 13:23:40	DH8D	A	68,7	70,3	81,0
3	29-11-2020 13:25:51	DH8D	A	70,6	74,3	83,6
3	29-11-2020 13:28:16	E75S	A	70,9	72,8	82,0
3	29-11-2020 13:50:12	B738	A	72,5	74,7	84,5
3	29-11-2020 13:59:22	E75L	A	70,1	71,9	81,3
3	29-11-2020 14:02:50	F2TH	A	68,9	70,1	78,0
3	29-11-2020 14:05:33	B788	A	71,9	74,1	84,9
3	29-11-2020 14:08:29	E75S	A	71,1	73,6	82,2
3	29-11-2020 14:14:29	E195	A	73,0	75,7	85,3
3	29-11-2020 14:17:16	A20N	A	71,1	74,1	82,5

Nr punktu pomiarowego	Data i godz. zdarzenia	Samolot	Operacja*	L _{Aeq}	L _{Amax}	L _{AE}
				[dB]	[dB]	[dB]
3	29-11-2020 14:20:08	E170	A	70,8	73,3	81,9
3	29-11-2020 14:22:44	E170	A	71,2	73,7	82,7
3	29-11-2020 14:27:41	E75S	A	69,7	71,7	80,8
3	29-11-2020 14:30:48	E190	A	70,2	71,6	81,0
3	29-11-2020 14:46:37	E75S	A	70,9	73,5	82,3
3	29-11-2020 14:56:38	B789	A	72,0	74,7	85,0
3	29-11-2020 14:58:43	E170	A	70,5	73,3	82,2
3	29-11-2020 15:05:46	B789	A	70,3	72,9	83,1
3	29-11-2020 15:31:07	A319	A	70,9	73,4	82,7
3	29-11-2020 16:13:14	E75L	A	70,6	72,5	82,1
3	29-11-2020 16:21:59	E170	A	70,3	72,8	81,4
3	29-11-2020 16:45:59	B789	A	71,9	74,9	84,2
3	29-11-2020 18:01:24	BCS3	A	69,9	71,6	81,4
3	29-11-2020 18:07:03	A320	A	70,2	71,7	82,0
3	29-11-2020 18:26:01	A21N	A	71,4	73,5	82,9
3	29-11-2020 18:28:19	A21N	A	71,6	74,5	83,6
3	29-11-2020 18:45:19	E195	A	72,4	75,3	84,4
3	29-11-2020 19:02:49	DH8D	A	68,7	70,3	78,7
3	29-11-2020 19:08:01	DH8D	A	69,5	71,3	80,3
3	29-11-2020 19:49:19	E170	A	70,3	72,9	82,1
3	29-11-2020 20:19:02	B738	A	73,1	75,5	85,6
3	29-11-2020 20:24:45	DH8D	A	68,8	73,6	81,8
3	29-11-2020 20:50:27	E190	A	71,4	74,0	83,1
3	29-11-2020 20:59:45	E75S	A	70,3	72,2	81,4
3	29-11-2020 21:01:50	E75S	A	71,2	73,7	83,5
3	29-11-2020 21:15:07	E75S	A	71,6	74,6	83,9
3	29-11-2020 21:17:34	E75S	A	70,9	73,5	82,6
3	29-11-2020 21:20:06	E170	A	69,8	71,6	81,3
3	29-11-2020 21:23:16	E170	A	72,4	74,6	84,4
3	29-11-2020 21:25:51	E195	A	72,8	75,8	85,4
3	29-11-2020 21:39:49	E170	A	70,9	73,5	82,7
3	29-11-2020 21:43:40	B738	A	71,8	75,5	85,0
3	29-11-2020 21:46:51	E195	A	71,9	75,1	83,9
3	29-11-2020 21:52:59	DH8D	A	69,4	70,7	79,8
3	30-11-2020 06:01:20	DH8D	A	69,1	70,4	78,7
3	30-11-2020 06:06:12	DH8D	A	68,1	69,4	77,7
3	30-11-2020 06:12:14	B734	A	74,0	77,6	86,3
3	30-11-2020 06:14:58	DH8D	A	68,2	69,3	78,6
3	30-11-2020 06:17:07	E190	A	72,0	75,5	84,3
3	30-11-2020 06:19:13	DH8D	A	68,4	69,5	78,8
3	30-11-2020 06:22:58	E170	A	69,8	72,0	81,2
3	30-11-2020 06:57:08	B738	A	72,6	75,4	85,4
3	30-11-2020 07:02:58	B738	A	72,3	76,1	85,3
3	30-11-2020 07:56:59	A319	A	70,2	72,2	81,9
3	30-11-2020 08:32:11	E75S	A	69,1	71,6	80,6
3	30-11-2020 08:55:48	C295	A	70,5	72,5	81,6
3	30-11-2020 09:03:14	AT75	A	70,4	72,5	81,5
3	30-11-2020 09:10:47	DH8D	A	68,4	69,2	78,0
3	30-11-2020 09:32:02	DH8D	A	69,5	71,1	80,3
3	30-11-2020 10:09:20	DH8D	A	69,0	70,7	79,4
3	30-11-2020 10:19:13	B789	A	71,8	74,2	84,1
3	30-11-2020 10:33:10	E170	A	69,7	71,7	80,9
3	30-11-2020 10:56:17	E75S	D	70,8	74,5	83,6
3	30-11-2020 11:02:01	E170	A	68,5	70,9	80,3
3	30-11-2020 11:28:59	E170	A	71,1	73,5	82,2
3	30-11-2020 11:46:17	E75S	A	70,7	73,9	82,2
3	30-11-2020 11:57:31	E75S	A	70,3	71,9	81,1

Nr punktu pomiarowego	Data i godz. zdarzenia	Samolot	Operacja*	L _{Aeq}	L _{Amax}	L _{AE}
				[dB]	[dB]	[dB]
3	30-11-2020 12:01:35	E170	A	70,3	71,8	81,1
3	30-11-2020 12:04:28	B738	A	71,6	75,2	84,2
3	30-11-2020 12:06:38	E75S	A	71,6	75,2	83,9
3	30-11-2020 12:09:10	E170	A	69,8	71,7	79,3
3	30-11-2020 12:11:31	B788	A	71,0	74,4	84,0
3	30-11-2020 12:30:43	E195	A	70,7	73,9	83,0
3	30-11-2020 12:53:31	AT75	A	70,4	72,5	80,4
3	30-11-2020 12:57:29	E75S	A	69,4	71,3	80,5
3	30-11-2020 13:04:47	B788	A	71,6	74,0	83,9
3	30-11-2020 13:14:42	B788	A	71,5	73,5	83,3
3	30-11-2020 13:17:01	DH8D	A	69,7	72,8	80,8
3	30-11-2020 13:19:27	DH8D	A	68,2	70,5	77,7
3	30-11-2020 13:59:44	E75L	A	71,2	74,1	83,0
3	30-11-2020 14:09:25	DH8D	A	70,4	71,8	81,6
3	30-11-2020 14:12:59	E75S	A	70,5	72,9	81,3
3	30-11-2020 15:13:40	A319	A	71,9	75,9	83,1
3	30-11-2020 15:41:26	BE20	A	74,1	78,9	84,6
3	30-11-2020 15:52:50	E190	A	72,3	75,6	84,1
3	30-11-2020 16:52:23	DH8D	A	70,0	71,9	81,2
3	30-11-2020 18:20:10	E195	A	70,8	72,8	82,0
3	30-11-2020 18:29:31	FA7X	A	70,1	72,9	81,6
3	30-11-2020 18:31:54	DH8D	A	69,4	71,0	79,8
3	30-11-2020 18:37:39	E170	A	69,9	71,1	80,3
3	30-11-2020 18:45:04	E170	A	70,4	74,0	81,6
3	30-11-2020 18:46:54	E75S	A	71,2	74,2	82,6
3	30-11-2020 18:48:49	E75S	A	69,7	72,4	81,1
3	30-11-2020 18:50:57	E170	A	71,1	73,6	82,2
3	30-11-2020 18:52:56	DH8D	A	69,9	72,1	79,9
3	30-11-2020 19:10:46	E170	A	70,4	71,7	80,8
3	30-11-2020 19:21:55	AT75	A	70,2	72,2	81,0
3	30-11-2020 19:24:34	DH8D	A	70,9	73,1	82,9
3	30-11-2020 19:27:38	DH8D	A	72,1	74,7	83,2
3	30-11-2020 19:30:15	E75S	A	70,3	72,7	81,4
3	30-11-2020 19:44:59	CL30	A	68,5	69,4	77,5
3	30-11-2020 19:48:36	E75S	A	70,1	71,4	81,3
3	30-11-2020 19:52:04	E75S	A	69,3	70,9	79,7
3	30-11-2020 19:55:10	E75S	A	69,5	72,5	81,3
3	30-11-2020 20:22:40	B734	A	73,5	78,0	85,0
3	30-11-2020 20:46:57	DH8D	A	70,6	72,3	81,7
3	30-11-2020 21:11:21	E170	A	71,6	74,3	82,1
3	30-11-2020 21:36:26	B738	A	71,8	74,7	83,3

Zestawienie zdarzeń akustycznych spowodowanych przelotami statków powietrznych w porze nocy (przedział czasu pomiędzy godz. 22.00 – 06.00)

Nr punktu pomiarowego	Data i godz. zdarzenia	Samolot	Operacja*	L _{Aeq}	L _{Amax}	L _{AE}
				[dB]	[dB]	[dB]
3	01-11-2020 22:15:57	E75S	D	61,4	63,1	72,8
3	01-11-2020 22:54:41	E170	D	62,0	63,2	72,8
3	01-11-2020 23:04:48	E190	D	64,6	67,3	76,6
3	01-11-2020 23:16:43	B738	D	63,2	66,4	77,9
3	01-11-2020 23:18:10	E170	D	64,9	67,8	78,8
3	02-11-2020 22:55:07	E170	D	63,7	66,1	75,2
3	02-11-2020 23:12:19	E75S	D	64,5	66,8	76,3
3	02-11-2020 23:16:34	E170	D	65,2	66,4	76,6

Nr punktu pomiarowego	Data i godz. zdarzenia	Samolot	Operacja*	L _{Aeq}	L _{Amax}	L _{AE}
				[dB]	[dB]	[dB]
3	03-11-2020 05:41:07	A306	A	73,1	78,9	88,7
3	03-11-2020 05:46:29	B738	A	70,5	75,7	85,2
3	03-11-2020 05:49:49	B763	A	71,7	76,7	86,9
3	03-11-2020 05:54:17	E75S	A	69,5	73,5	83,3
3	03-11-2020 05:58:31	A21N	A	70,0	74,5	84,2
3	03-11-2020 22:01:48	A21N	A	64,7	66,5	77,2
3	03-11-2020 22:35:56	A20N	A	68,4	72,7	83,3
3	03-11-2020 22:56:07	E190	A	70,0	74,0	84,4
3	04-11-2020 05:44:03	A306	A	72,6	78,6	88,5
3	04-11-2020 05:58:40	B763	A	71,9	76,3	87,3
3	04-11-2020 22:19:52	E195	A	69,6	74,7	84,8
3	04-11-2020 22:47:09	A20N	A	68,9	74,4	84,1
3	04-11-2020 22:49:29	A21N	A	66,4	68,9	80,4
3	04-11-2020 23:04:38	E75L	A	67,5	71,3	82,2
3	05-11-2020 05:55:03	A306	A	72,0	78,9	88,5
3	05-11-2020 05:57:58	B763	A	71,5	75,9	87,1
3	05-11-2020 22:44:34	A21N	A	61,1	64,0	73,2
3	05-11-2020 22:47:41	A20N	A	68,3	72,7	84,0
3	05-11-2020 23:11:15	E75L	A	69,5	74,0	84,4
3	06-11-2020 05:40:09	A306	A	73,3	79,8	89,1
3	06-11-2020 05:51:45	B763	A	71,4	76,5	87,7
3	06-11-2020 22:07:29	A21N	A	67,0	69,5	79,8
3	06-11-2020 22:12:47	A21N	A	67,5	70,4	80,7
3	06-11-2020 22:28:25	E195	A	67,4	72,0	81,8
3	06-11-2020 22:40:49	A320	A	68,9	72,3	82,1
3	06-11-2020 22:47:35	A20N	A	67,4	70,4	80,2
3	06-11-2020 23:22:41	E75L	A	68,0	71,5	81,5
3	07-11-2020 05:44:40	A321	A	68,4	72,5	82,5
3	07-11-2020 05:46:30	E190	A	68,8	72,3	82,8
3	07-11-2020 22:40:29	B789	D	67,5	71,0	79,6
3	07-11-2020 22:43:17	B789	D	62,8	64,6	73,6
3	08-11-2020 23:10:14	E170	D	63,6	67,3	78,4
3	08-11-2020 23:15:38	E170	D	62,0	62,9	72,4
3	08-11-2020 23:19:23	E190	D	64,5	67,3	76,0
3	09-11-2020 05:54:11	A21N	D	62,7	64,7	73,9
3	09-11-2020 23:08:12	E170	D	63,2	66,3	75,5
3	10-11-2020 22:02:02	GLEX	D	62,5	65,6	76,3
3	10-11-2020 22:46:18	B789	D	66,7	70,9	81,2
3	10-11-2020 23:14:53	E170	D	62,3	64,3	73,1
3	11-11-2020 22:59:14	B789	A	70,6	75,8	85,8
3	11-11-2020 23:08:46	E170	D	63,0	64,4	72,1
3	12-11-2020 22:23:26	A306	D	67,0	71,7	82,3
3	13-11-2020 22:09:57	A306	D	68,7	72,5	83,1
3	13-11-2020 22:16:04	B738	D	71,0	76,3	86,8
3	13-11-2020 23:08:55	DH8D	D	62,0	63,0	71,5
3	13-11-2020 23:14:19	E170	D	65,5	68,5	80,1
3	13-11-2020 23:20:20	B788	D	67,6	70,0	79,9
3	13-11-2020 23:26:35	E190	D	63,9	67,7	76,5
3	14-11-2020 22:21:35	B789	A	70,8	75,7	86,4
3	14-11-2020 22:28:44	B789	D	69,0	72,4	82,0
3	15-11-2020 23:16:32	E170	D	65,4	68,2	78,2
3	16-11-2020 22:23:31	B738	A	70,7	76,3	85,7
3	16-11-2020 22:51:39	A319	A	68,7	74,3	83,5
3	16-11-2020 23:09:42	E190	A	69,6	74,1	83,6
3	17-11-2020 05:29:41	ATP	A	70,3	74,6	84,8
3	17-11-2020 05:37:55	A306	A	72,3	78,4	88,4
3	17-11-2020 05:43:56	B752	A	70,0	74,9	84,8

Nr punktu pomiarowego	Data i godz. zdarzenia	Samolot	Operacja*	L _{Aeq}	L _{Amax}	L _{AE}
				[dB]	[dB]	[dB]
3	17-11-2020 05:57:19	E190	A	69,0	73,3	84,4
3	17-11-2020 22:03:50	SF34	A	67,6	70,4	79,7
3	17-11-2020 22:41:38	A319	A	68,1	72,5	82,9
3	17-11-2020 23:07:48	E75L	A	69,3	73,4	83,4
3	18-11-2020 05:33:52	B763	A	72,8	79,8	88,2
3	18-11-2020 05:40:40	A306	A	72,3	77,5	87,7
3	18-11-2020 05:44:16	ATP	A	71,2	75,9	86,1
3	18-11-2020 22:10:00	A306	D	68,0	71,2	81,2
3	18-11-2020 23:13:17	E190	D	64,0	67,4	77,2
3	18-11-2020 23:16:22	E170	D	65,2	68,3	79,2
3	19-11-2020 05:16:56	P180	D	66,1	72,1	81,4
3	19-11-2020 22:06:11	DH8D	A	66,4	70,5	82,2
3	19-11-2020 22:35:06	A319	A	69,8	75,4	84,7
3	19-11-2020 22:37:13	E190	A	70,4	76,3	85,3
3	19-11-2020 22:40:58	A21N	A	68,4	72,4	82,4
3	20-11-2020 05:30:52	ATP	A	68,7	73,3	84,2
3	20-11-2020 05:39:00	A306	A	73,4	79,2	89,3
3	20-11-2020 05:51:00	B762	A	71,9	77,9	87,7
3	20-11-2020 22:46:36	A319	A	71,7	78,1	86,7
3	20-11-2020 23:11:12	E190	A	70,1	74,3	85,1
3	21-11-2020 05:47:24	E190	A	68,3	73,2	81,7
3	21-11-2020 22:19:59	B789	D	65,6	68,3	79,7
3	21-11-2020 22:40:07	B789	D	67,7	72,4	81,0
3	21-11-2020 22:49:18	B789	D	66,8	69,4	79,1
3	22-11-2020 21:59:56	A21N	A	70,9	72,9	82,7
3	22-11-2020 22:33:26	E190	A	70,4	75,6	84,4
3	22-11-2020 22:40:46	A21N	A	68,9	73,4	83,5
3	23-11-2020 05:39:08	B752	A	70,4	74,3	85,6
3	23-11-2020 05:57:25	E190	A	68,4	72,6	83,2
3	23-11-2020 22:13:54	CL30	A	65,6	69,1	79,2
3	23-11-2020 23:06:18	E190	A	70,3	74,6	85,4
3	24-11-2020 05:37:19	B789	A	70,4	76,0	86,1
3	24-11-2020 05:41:11	B762	A	71,6	77,6	87,8
3	24-11-2020 05:44:11	ATP	A	69,0	73,6	84,5
3	24-11-2020 05:52:42	E190	A	69,4	75,6	84,3
3	24-11-2020 23:03:42	E190	A	69,1	73,5	83,9
3	25-11-2020 05:38:00	A306	A	71,3	77,1	86,9
3	25-11-2020 05:46:10	ATP	A	69,9	73,8	83,9
3	25-11-2020 05:53:30	B763	A	71,9	77,0	86,9
3	25-11-2020 22:55:50	B789	D	63,6	65,5	77,2
3	25-11-2020 23:21:32	E190	D	62,3	63,3	74,6
3	26-11-2020 05:01:53	B763	A	70,3	75,8	86,1
3	26-11-2020 05:38:36	B762	A	70,6	76,4	85,9
3	26-11-2020 05:44:54	ATP	A	69,4	74,1	83,4
3	26-11-2020 05:51:53	A306	A	71,4	77,9	87,2
3	26-11-2020 05:55:56	E190	A	68,9	72,7	82,7
3	26-11-2020 23:18:28	E190	A	69,9	75,7	84,3
3	27-11-2020 00:47:17	A21N	A	68,4	73,3	82,7
3	27-11-2020 05:14:47	ATP	A	69,5	74,5	84,8
3	27-11-2020 05:48:27	A306	A	73,0	77,9	88,0
3	27-11-2020 22:14:43	PC12	A	68,7	73,4	82,8
3	27-11-2020 23:37:18	E190	A	69,5	75,4	84,5
3	28-11-2020 05:53:33	B738	A	70,7	76,7	86,3
3	28-11-2020 05:55:55	E190	A	68,6	75,1	84,2
3	28-11-2020 23:19:21	B738	A	70,6	74,9	84,8
3	28-11-2020 23:23:13	E190	A	69,6	73,5	83,4
3	29-11-2020 22:16:14	A21N	A	68,1	72,3	82,9

Nr punktu pomiarowego	Data i godz. zdarzenia	Samolot	Operacja*	L _{Aeq}	L _{Amax}	L _{AE}
				[dB]	[dB]	[dB]
3	29-11-2020 23:08:06	A21N	A	69,1	72,9	82,9
3	30-11-2020 00:06:04	E190	A	70,8	75,7	85,3
3	30-11-2020 05:29:26	B752	A	69,6	73,4	84,7
3	30-11-2020 05:32:15	A306	A	72,7	78,8	88,9
3	30-11-2020 05:37:46	ATP	A	69,9	74,2	84,8
3	30-11-2020 05:58:00	E190	A	69,1	73,9	83,9
3	30-11-2020 23:06:04	E190	A	69,9	74,3	83,5

LEGENDA

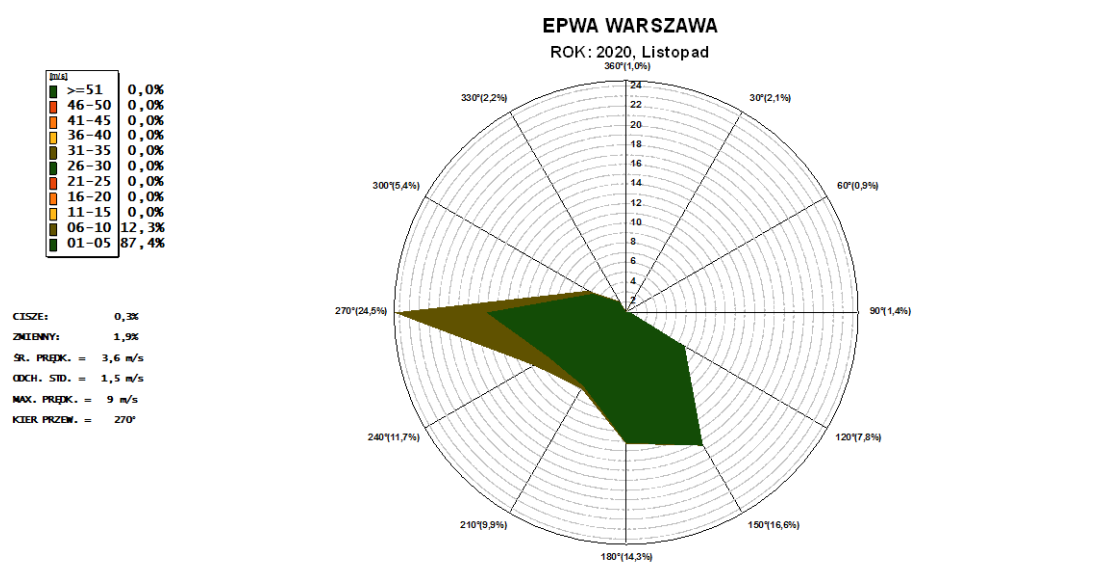
- Samolot – typ statku powietrznego
- Operacja: A – lądowanie, D – start, P - przelot
- L_{Aeq} – równoważny poziom dźwięku dla zdarzenia akustycznego
- L_{Amax} – maksymalny poziom dźwięku dla zdarzenia akustycznego
- L_{AE} – ekspozycyjny poziom dźwięku dla zdarzenia akustycznego
- Kolorem niebieskim oznaczono zdarzenia akustyczne, które miały miejsce w czasie gdy nie były spełnione warunki meteorologiczne¹, a także wystąpiły zakłócenia od innych źródeł hałasu.

WARUNKI METEOROLOGICZNE DLA LOTNISKA:

Ustalane na wysokości: 106,51 m n.p.m

Wielkości ustalone	Wartości maksymalne	Wartości minimalne	Wartości średnie miesięczne
	w danym miesiącu	w danym miesiącu	
Temperatura [°C]	16,0	-4,9	5,8
Wilgotność względna [%]	100	56	88
Ciśnienie atmosferyczne [hPa]	1022,0	1001,1	1011,4

Miesięczna róża wiatrów



¹ Warunki meteorologiczne określone w punkcie D "Referencyjnej metodyki wykonywania ciągłych pomiarów poziomów hałasu wprowadzanego do środowiska przez starty, lądowania i przeloty statków powietrznych w związku z eksploatacją lotnisk oraz kryteria lokalizacji punktów pomiarowych" (Załącznik nr 1 do rozporządzenia Ministra Środowiska z dnia 16 czerwca 2011 r. w sprawie wymagań w zakresie prowadzenia pomiarów poziomów substancji lub energii w środowisku przez zarządzającego drogą, linią kolejową, linią tramwajową, lotniskiem lub portem).